



**HAL**  
open science

**Hauts-de-France, Verlinghem, 36 route de Messines.  
Verlinghem : Rapport de Diagnostic**

Géraldine Teysseire, Sophie Oudry-Braillon, Vaiana Vincent, Laurent  
Deschodt

► **To cite this version:**

Géraldine Teysseire, Sophie Oudry-Braillon, Vaiana Vincent, Laurent Deschodt. Hauts-de-France, Verlinghem, 36 route de Messines. Verlinghem : Rapport de Diagnostic. [Rapport de recherche] Inrap Hauts-de-France. 2017. hal-02156731

**HAL Id: hal-02156731**

**<https://inrap.hal.science/hal-02156731>**

Submitted on 14 Jun 2019

**HAL** is a multi-disciplinary open access archive for the deposit and dissemination of scientific research documents, whether they are published or not. The documents may come from teaching and research institutions in France or abroad, or from public or private research centers.

L'archive ouverte pluridisciplinaire **HAL**, est destinée au dépôt et à la diffusion de documents scientifiques de niveau recherche, publiés ou non, émanant des établissements d'enseignement et de recherche français ou étrangers, des laboratoires publics ou privés.

Hauts-de-France, Verlinghem, 36 route de Messines

# Verlinghem

par

**Géraldine Teysseire**



Hauts-de-France, Verlinghem, 36 route de Messines

# Verlinghem

par

**Géraldine Teysseire**

avec la collaboration de

**Sophie Oudry-Braillon**

**Vaiana Vincent**

**Laurent Deschodt**

**Inrap Hauts-de-France**

32 avenue de l'Étoile du Sud

80440 Glisy

Tél. 03 22 33 50 30

nord-picardie@inrap.fr

Novembre 2017

# Sommaire

8	Fiche signalétique
9	Mots-clefs des thesaurus
10	Intervenants
11	Notice scientifique
12	Localisation de l'opération
14	Arrêté de désignation
16	Arrêté de prescription
21	Projet scientifique d'intervention

## Résultats

25	<b>1 Introduction, description de l'opération</b>
25	<b>1.1 Circonstances et conditions réalisation de l'intervention</b>
25	<b>1.2 Etat des connaissances avant l'opération, contextes</b>
25	1.2.1 Localisation géographique
25	1.2.2 Topographie
27	1.2.3 Contexte géologique de l'emprise
29	1.2.4. Contexte archéologique
29	<b>1.3 Méthodes mises en œuvre et objectifs</b>
29	1.3.1 Technique de sondage et contraintes techniques
31	1.3.2 Objectifs
31	1.3.3. Protocole d'enregistrement
31	1.3.4 L'archivage des données
32	<b>2. Résultats, l'occupation archéologique</b>
43	<b>3. Étude céramologique (V. Vincent)</b>
46	Catalogue de la figure 23
47	Bibliographie
48	<b>4. Étude anthropologique (S. Oudry-Braillon)</b>
48	<b>4.1 Rappel des caractéristiques de la structure</b>
48	<b>4.2 Les ossements humains</b>
50	<b>4.3 Interprétation de la structure</b>
50	<b>4.4 Bibliographie</b>

---

51	<b>5. Géologie quaternaire (L. Deschodt)</b>
51	5.1 Contexte
52	5.2 Observations
55	Bibliographie
56	<b>6. Synthèse</b>
57	<b>7. Bibliographie générale</b>

## Inventaires techniques

60	Inventaire des unités stratigraphiques et des structures archéologiques
67	Inventaire du mobilier archéologique
68	Inventaire des prélèvements
68	Inventaire des documents graphiques
69	Inventaire des documents photographiques et audiovisuels
71	Inventaire des documents numériques
71	Inventaire de la documentation écrite

## Index des figures

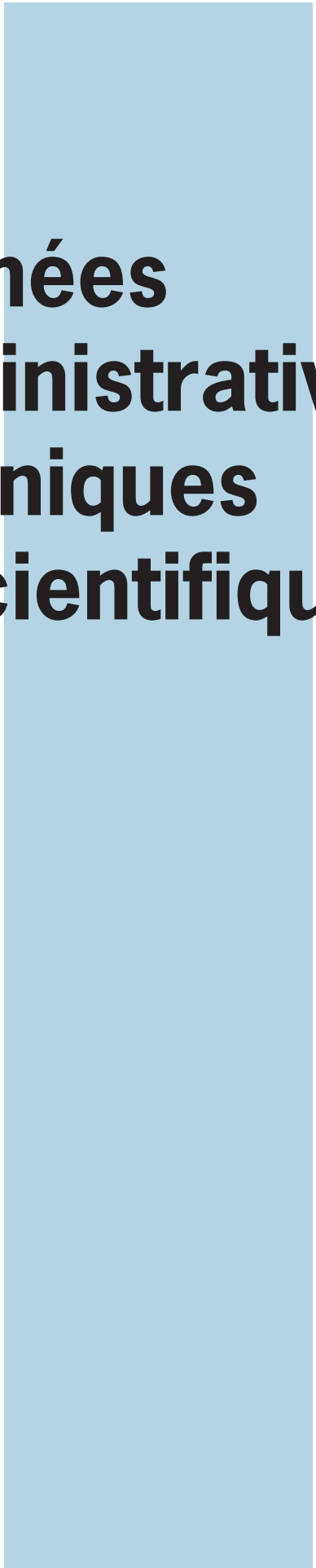
- 26 Fig.1 : localisation de l'emprise sur un extrait de photographie aérienne de la zone, au 1/2000.
- 27 Fig.2 : localisation de l'emprise sur un extrait de la carte géologique du BRGM au 1/50 000.
- 28 Fig.3 : localisation des précédentes opérations archéologiques sur la commune de Verlinghem.
- 29 Fig.4 : vue de l'épaisseur de cailloux de la plateforme (TR 5).
- 30 Fig.5 : localisation de la surface accessible parmi les parcelles prescrites sur fond de plan cadastral.
- 33 Fig.6 : plan général de l'emprise, des ouvertures réalisées (avec indication des profondeurs) et des vestiges mis au jour.
- 35 Fig.7 : plan général des vestiges avec matérialisation des deux zones principales où ont été pratiqués les tests mécaniques.
- 36 Fig.8 : coupe du fossé st 174, au 1/20.
- 36 Fig.9 : vue du fossé st 174, vers l'est.
- 36 Fig.10 : vue de la st 55, vers l'ouest.
- 37 Fig.11 : coupes et clichés des structures romaines, st 57 à 59.
- 38 Fig.12 : coupes au 1/20 du 1/4 fouillé de la st 140.
- 38 Fig.13 : vue du 1/4 fouillé de la st 140, vers le nord.
- 39 Fig.14 : coupe du fossé st 33, au 1/20.
- 39 Fig.15 : vue du fossé st 33, vers l'est.
- 39 Fig.16 : coupe du fossé st 34, au 1/20.
- 39 Fig.17 : vue du fossé st 34, vers le sud.
- 40 Fig.18 : coupes de la fosse st 25 et des fossés st 21 et 23, au 1/20.
- 41 Fig.19 : vue de la fosse st 25, vers le SE.
- 41 Fig.20 : coupes des fossés st 274 et 275, au 1/20.
- 42 Fig.21 : vue de la monnaie (avers).
- 42 Fig.22 : vue de la monnaie (revers).
- 45 Fig.23 : planche céramique diachronique du matériel découvert sur le diagnostic de Verlinghem.

---

48	Fig.24 : indices pondéraux du dépôt osseux de la st. 140 par rapport aux valeurs de référence.
51	Fig.25 : localisation de l'emprise dans la vallée de la Deûle. source MNT : PPIGE NPDC - MNT GRID 2012-2013.
52	Fig.26 : localisation des sondages profonds en puits sur un extrait de la carte IGN 1/25000.
52	Fig.27 : détail des sondages profonds en puits, description dans le texte.
53	Fig.28 : SP1, partie supérieure.
53	Fig.29 : SP1, pseudomycélium (carbonatations secondaires).
53	Fig.30 : SP1, limon gleyifié homogène en fond de sondage vu dans le godet de la pelle.
54	Fig.31 : SP2, unité 5 vers 2,3 m de profondeur.
54	Fig.32 : SP2, limon gris homogène en fond de sondage (unité 7).
54	Fig.33 : SP2, discrètes lamines dans l'unité 7.
54	Fig.34 : SP2, discrètes lamines dans l'unité 7.
54	Fig.35 : SP2, présence de débris végétaux en lits dans l'unité 7, prélevé.
55	Fig.36 : SP3, partie supérieure.
55	Fig.37 : SP3, détail de la carbonatation secondaire.

## Index des tableaux

44	Tab.1 : tableau de comptage de la céramique.
49	Tab.2 : composition anatomique du dépôt osseux de la st. 140.
49	Tab.3 : indices pondéraux du dépôt osseux de la st. 140.



**I. Données  
administratives,  
techniques  
et scientifiques**

# Fiche signalétique

---

**Localisation****Région**

Hauts-de-France

**Département**

Nord

**Commune**

Verlinghem

**Adresse ou lieu-dit**

36 route de Messines

---

**Codes****Code INSEE**

59611

**Numéro de dossier Patriarche**

158441

**Numéro de l'entité archéologique**

---

**Coordonnées géographiques et altimétriques selon le système national de référence**

x: 648010

y: 2631620

z: 23

---

**Références cadastrales****Commune****Année****Section(s)**

OC

**Parcelle(s)**

145-245-432-451-452

---

**Statut du terrain au regard des législations sur le patrimoine et l'environnement**

---

**Propriétaire du terrain**

Monsieur Alain Bondue

---

**Références de l'opération****Numéro de l'arrêté de prescription**

2017-107

**Numéro de l'opération**

158441

**Numéro de l'arrêté de désignation du responsable**

17107

---

**Maître d'ouvrage des travaux d'aménagement**

SAS Euroinformation

---

**Nature de l'aménagement**

Data Center, bureaux

---

**Opérateur d'archéologie**

Inrap

---

**Responsable scientifique de l'opération**

Géraldine Teysseire, Inrap

---

**Organisme de rattachement**Inrap  
Hauts-de-France,  
32 avenue de l'Étoile du Sud  
80440 Glisy  
Tél. 03 22 33 50 30

nord-picardie@inrap.fr

---

**Surfaces****Surface prescrite**104305 m<sup>2</sup>**Pourcentage de la surface sondée**

12,16 %

---

**Dates d'intervention sur le terrain****Préparation**

22/09/2017

**Fouille**

du 25/09 au 29/09/2017

**Post-fouille**

du 06/10 au 17/10/2017

# Mots-clefs des thesaurus

## Chronologie

- Paléolithique**
  - Inférieur
  - Moyen
  - Supérieur
  - Mésolithique et Épipaléolithique
- Néolithique**
  - Ancien
  - Moyen
  - Récent
- Protohistoire**
  - Âge du Bronze**
    - Ancien
    - Moyen
    - Récent
  - Âge du Fer**
    - Hallstatt (premier Âge du Fer)
    - La Tène (second Âge du Fer)
- Antiquité romaine (gallo-romain)**
  - République romaine
  - Empire romain
    - Haut-Empire (jusqu'en 284)
    - Bas-Empire (de 285 à 476)
- Époque médiévale**
  - haut Moyen Âge
  - Moyen Âge
  - bas Moyen Âge
- Temps modernes**
- Époque contemporaine**
  - Ère industrielle

## Sujets et thèmes

- Édifice public
- Édifice religieux
- Édifice militaire
- Bâtiment
- Structure funéraire
- Voirie
- Hydraulique
- Habitat rural
- Villa
- Bâtiment agricole
- Structure agraire
- Urbanisme
- Maison
- Structure urbaine
- Foyer
- Fosse
- Sépulture
- Grotte
- Abri
- Mégalithe
- Artisanat
- Argile : atelier
- Atelier
- Fossé
- ...
- ...

## Mobilier

### nbr

- Industrie lithique
- Industrie osseuse
- Céramique
- Restes
- Végétaux
- Faune
- Flore
- Objet métallique
- Arme
- Outil
- Parure
- Habillement
- Trésor
- Monnaie
- Verre
- Mosaique
- Peinture
- Sculpture
- Inscription
- ...

## Études annexes

- Géologie
- Datation
- Anthropologie
- Paléontologie
- Zoologie
- Botanique
- Palynologie
- Macrorestes
- An. de céramique
- An. de métaux
- Aca. des données
- Numismatique
- Conservation
- Restauration
- ...

# Intervenants

## Intervenants scientifiques

Nom, Prénom, organisme d'appartenance

Marion Audoly, SRA

Laurent Sauvage, Inrap

Géraldine Teysseire, Inrap

Tâches génériques

Conservateur en charge du dossier

Directeur adjoint scientifique et technique

Assistante d'étude et d'opération

Tâches affectées dans le cadre de l'opération

Prescription et contrôle scientifique

Mise en place et suivi de l'opération

Responsable scientifique de l'opération

## Intervenants administratifs

Nom, Prénom, organisme d'appartenance

Jean-Luc Collart, SRA

Pascal Depaepe, Inrap

Tâches génériques

Conservateur régional

Directeur interrégional Nord-Picardie

Tâches affectées dans le cadre de l'opération

## Équipe de fouille

Nom, Prénom, organisme d'appartenance

Emmanuel Elleboode, Inrap

Yves Créteur, Inrap

Géraldine Teysseire, Inrap

Tâches génériques

Assistant d'étude et d'opération

Topographe

Assistante d'étude et d'opération

Tâches affectées dans le cadre de l'opération

Technicien, suivi de la pelle, fouille, enregistrement des données

Traitement topographie, SIG

Responsable scientifique de l'opération

## Collaboration / Spécialiste

Nom, Prénom, organisme d'appartenance

Laurent Deschodt, Inrap

Tâches génériques

Géomorphologue

Tâches affectées dans le cadre de l'opération

Étude géomorphologique et géologique

## Équipe de post-fouille

Nom, Prénom, organisme d'appartenance

Emmanuel Elleboode, Inrap

Laurent Deschodt, Inrap

Ludovic Notte, Inrap

Sophie Oudry-Braillon, Inrap

Géraldine Teysseire, Inrap

Vaiana Vincent, Inrap

Christelle Duprat, Inrap

Dominique Bossut, Inrap

Tâches génériques

Assistant d'étude et d'opération

Géomorphologue

Assistant d'étude et d'opération

Assistante d'étude et d'opération

Assistante d'étude et d'opération

Céramologue

Assistante d'étude et d'opération

Assistante d'étude et d'opération

Tâches affectées dans le cadre de l'opération

Lavage des mobiliers

Étude géomorphologique et géologique

Instrumentum (identification monnaie)

Étude anthropologique

Rédaction, DAO, inventaire

Étude céramologique

Infographiste DAO

PAO

## Intervenants techniques

Nom, Prénom, organisme d'appartenance

Benoit Duriez, Inrap

Tâches génériques

Assistant technique

Tâches affectées dans le cadre de l'opération

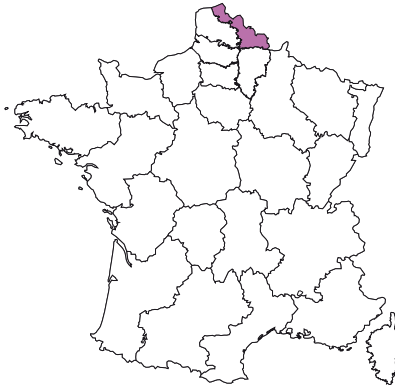
Mise en place et suivi de l'opération

## Notice scientifique

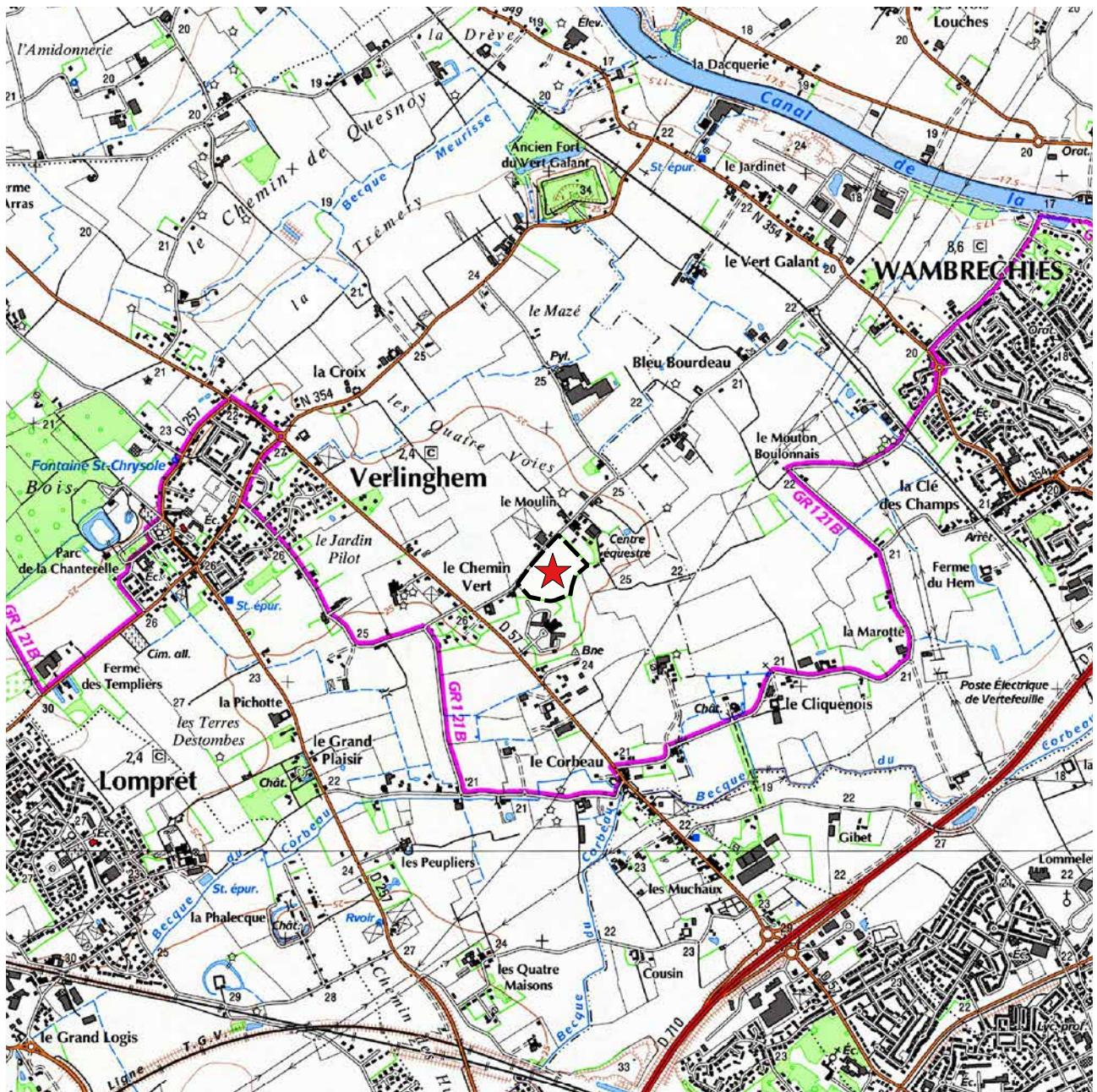
Un projet d'extension de bureaux et de data center de la société Euroinformation à Verlinghem est à l'origine de la prescription de diagnostic émise par le Service Régional d'Archéologie des Hauts-de-France. Le diagnostic archéologique s'est déroulé du 25 au 29 septembre 2017 sur la surface non encore construite du projet, soit 39285 m<sup>2</sup> sur les 104235 m<sup>2</sup> prescrits. À l'issue de l'opération se sont 17 tranchées d'observation et 3 sondages profonds qui ont été effectués ouvrant ainsi 12,16 % de la surface accessible. Cette opération a permis de mettre au jour 282 vestiges archéologiques dont la très grande majorité est constituée de fossés. Du mobilier datant a été collecté de manière diffuse sur tout le site. La majorité des tessons est fragmentée mais sa répartition permet de définir plusieurs périodes d'occupation sur le site. Quelques tessons attribuables à la protohistoire ont été collectés. De même, du mobilier romain (essentiellement des I et II<sup>e</sup> siècles de notre ère) a été collecté dans des fossés et des fosses. Une fosse de rejet de bûcher, isolée, peut être associée à l'une ou l'autre de ces deux phases. Bien qu'elle soit non datée, la pratique de la crémation est rencontrée à ces époques. L'occupation médiévale (XII<sup>e</sup> siècle) du site se traduit par la présence de fossés et de rares fosses ayant livré un peu de mobilier. Seuls des tronçons de fossés ont été mis au jour et il n'a pas été possible de définir des enclos ou de restituer un parcellaire. La concentration de vestiges attribués à cette phase se situe au sud-ouest du site, sans qu'il soit possible pour autant de définir un plan organisé des vestiges. Bien que peu fréquemment rencontrée dans la région, la céramique de cette période reste en quantité limitée, ici, à Verlinghem. Un large fossé (ou une dépression) daté de la période Moderne a été rencontré au centre de la parcelle, il traverse de part en part le site selon un axe NO/SE. D'autres fossés ont livré du mobilier moderne et notamment un liard du début du XVII<sup>e</sup> siècle. Le mobilier, très fragmenté est difficilement attribuable à une phase en particulier, le taux de résidualité doit être important car certains tessons sont émoussés. L'opération de diagnostic, route de Messines à Verlinghem, même si elle ne permet pas de caractériser une organisation bien définie, permet néanmoins d'entrevoir une occupation lâche du secteur étalée sur plusieurs périodes. Il conviendra donc de rester vigilant quant aux futurs aménagements dans ce secteur qui permettront peut-être d'affiner les connaissances des différentes phases d'occupation.

# Localisation de l'opération

Hauts-de-France,  
 Nord  
 Verlinghem,  
 36 route de Messines  
 x : 648010  
 y : 2631620  
 z : 23



Extrait de la carte IGN au 250 000°. Mise à disposition PPIGE du scan250  
 © SCAN 250® TOUR de l'IGN»



Extrait de la carte IGN au 25000°. Mise à disposition PPIGE du scan25 © SCAN 25® TOUR de l'IGN»

Département :  
NORD

Commune :  
VERLINGHEM

Section : C  
Feuille : 000 C 02

Échelle d'origine : 1/2000  
Échelle d'édition : 1/4000

Date d'édition : 20/11/2017  
(fuseau horaire de Paris)

Coordonnées en projection : RGF93CC50  
©2016 Ministère de l'Économie et des  
Finances

DIRECTION GÉNÉRALE DES FINANCES PUBLIQUES

-----  
EXTRAIT DU PLAN CADASTRAL  
-----

Le plan visualisé sur cet extrait est géré  
par le centre des impôts foncier suivant :  
LILLE II  
CENTRE DES FINANCES PUBLIQUES  
22 RUE LAVOISIER 59466  
59466 LOMME CEDEX  
tél. 03 20 30 49 54 -fax  
cdf.lille-2@dgi.finances.gouv.fr

Cet extrait de plan vous est délivré par :

cadastre.gouv.fr



# Arrêté de désignation

27 OCT 2017



PRÉFET DE LA RÉGION HAUTS-DE-FRANCE

Préfecture  
de la Région Hauts-de-France

N° PATRARCHÉ  
15844

**Arrêté préfectoral portant désignation du responsable scientifique  
dans le cadre du diagnostic archéologique n° 17107**

**Le Préfet de Région  
Préfet du Nord  
Officier de la Légion d'Honneur  
Officier de l'Ordre national du Mérite**

Vu le code du patrimoine

Vu l'arrêté ministériel du 16 septembre 2004 portant définition des normes d'identification, d'inventaire, de classement et de conditionnement de la documentation scientifique et du matériel issus des diagnostics et fouilles archéologiques ;

Vu l'arrêté ministériel du 27 septembre 2004 portant définition des normes de contenu et de présentation des rapports d'opérations archéologiques ;

Vu le décret n° 2004-374 du 29 avril 2004 modifié relatif aux pouvoirs des préfets, à l'organisation et à l'action des services de l'Etat dans les régions et départements ;

Vu le décret du 21 avril 2016 portant nomination de Monsieur Michel LALANDE, en qualité de préfet région Hauts-de-France, préfet de la zone défense et sécurité Nord, préfet du Nord ;

Vu l'arrêté ministériel du 12 octobre 2016 portant nomination de Monsieur Marc DROUET, directeur régional des affaires culturelles de la région Hauts-de-France ;

Vu l'arrêté préfectoral en date du 27 octobre 2016 accordant délégation de signature à Monsieur Marc DROUET, directeur régional des affaires culturelles de la région Hauts-de-France ;

Vu l'arrêté portant délégation de signature aux agents de la direction régionale des affaires culturelles Hauts-de-France en date du 3 février 2017 et paru au recueil des actes administratifs numéro n° 38 en date du 5 février 2017, accordant délégation de signature à Monsieur Jean-Luc GOLLART, conservateur régional de l'archéologie ;

Vu l'arrêté de prescription de diagnostic archéologique n° 17107 ;

**ARRETE**

**Article 1** - TESSÉRIÈRE Géraldine (INRAP) est désignée comme responsable scientifique du diagnostic sur la commune de Verlinghem (Nord), 36 route de Messines - section cadastrale : OC 145 245, 402, 451 et 452.

**Article 2** - Le rapport établi à l'issue du diagnostic devra être fourni en huit exemplaires dont un non broché. Il devra comporter :

- les données administratives et techniques
  - 1 région, département, commune, lieu-dit,
  - 2 numéro d'opération (n° de département, n° de commune, n° de l'arrêté mentionnant l'OPAC).

# Arrêté de désignation

1. références cadastrales (numero de localisation ou numéro d'ordre sections et n° des parcelles);
  4. nom du site des coordonnées au moment de l'opération;
  5. cartes et plans de localisation géoréférences (1:25 000) et fond de cadastre actualisés; l'emprise du diagnostic et du site est communément admise en cas d'échec de la fouille;
  6. plan d'implantation de tous les sondages avec leur identification;
  7. fiche signalétique par période de présentation des résultats scientifiques;
  8. notice des résultats scientifiques pouvant figurer dans le Bulletin Scientifique Régional éventuellement accompagnés d'illustrations; la notice et les illustrations seront également transmises sous forme numérique.
- **la présentation des résultats scientifiques**
    1. un état sommaire des connaissances géologiques, archéologiques, historiques avant le diagnostic;
    2. un état de l'ouvrage en cours de diagnostic;
    3. un mode de planification documentation avec la présentation du système d'enregistrement des données de terrain et du système de gestion mis en place pour leur exploitation;
    4. la présentation générale des résultats sur la zone diagnostiquée en identifiant la ou les différents sites archéologiques repérés et leur caractéristiques sommaires, accompagnée d'un plan regroupant l'intégralité des sondages avec leur identification;
    5. la présentation détaillée, par période chronologique, du ou des sites avec plan et coupes ainsi que le mobilier significatif;
    6. une synthèse par période avec la nature des sites et leur interprétation;
    7. une synthèse d'ensemble reliant le site ou les sites dans les problématiques régionales et nationales.

**Article 3** – Le directeur régional des affaires culturelles est chargé de l'exécution du présent arrêté, qui sera notifié à l'opérateur.

Conformément aux dispositions des articles R 4211 et R 4215 du code de justice administrative, la présente décision peut faire l'objet d'un recours contentieux devant le tribunal administratif compétent dans le délai de 2 mois à compter de sa notification.

Fait à Lille, le 21 septembre

Pour le Préfet de la Région Hauts-de-France,  
et par délégué,  
pour le directeur régional des affaires culturelles,  
le conservateur régional de l'archéologie

Jean-Luc COLLIART

Copie : SYSSÉ RE Geradine

# Arrêté de prescription

Verlinghem (Nord) Arrêté n°2017-107  
Prescriptions de diagnostic archéologique



01 JUIN 2017

PREFET DE LA REGION HAUTS-DE-FRANCE / Nord-Pirendje

**Le Préfet de Région  
Préfet du Nord  
Officier de la Légion d'Honneur  
Officier de l'Ordre National du Mérite**

Vu le code du patrimoine,

Vu l'arrêté ministériel du 16 septembre 2004 portant définition des normes d'identification, d'inventaire, de classement et de conditionnement de la documentation scientifique et du matériel issus des diagnostics et fouilles archéologiques,

Vu l'arrêté interministériel du 27 septembre 2004 portant définition des normes de contenu et de présentation des rapports d'opérations archéologiques,

Vu le décret n° 2004-374 du 29 avril 2004 modifié relatif aux pouvoirs des préfets, à l'organisation et à l'action des services de l'Etat dans les régions et départements,

Vu le décret du 21 avril 2016 portant nomination de Monsieur Michel LALANDE, en qualité de préfet région Hauts-de-France, préfet de la zone défense et sécurité Nord, préfet du Nord,

Vu l'arrêté ministériel du 12 octobre 2016 portant nomination de Monsieur Marc BROUET, directeur régional des affaires culturelles de la région Hauts de France,

Vu l'arrêté préfectoral en date du 27 octobre 2016 accordant délégation de signature à Monsieur Marc BROUET, directeur régional des affaires culturelles de la région Hauts-de-France,

Vu l'arrêté portant délégation de signature aux agents de la direction régionale des affaires culturelles Hauts-de-France en date du 3 février 2017 et paru au recueil des actes administratifs numéro n°36 en date du 6 février 2017, accordant délégation de signature à Monsieur Christian DOUJALE, directeur du pôle Patrimoines et Architecture,

Considérant que des travaux sont envisagés sur les terrains sis à

Verlinghem (Nord)  
36 route de Messines -  
section cadastrale n° OC 146 249 432 451 et 452,

travaux faisant l'objet d'une demande de permis de construire (PC 059 611 17 S 0005) déposée à la mairie de Verlinghem le 21/04/2017 par

Monsieur Alain BONDUÉ,  
S.A.S. EUROINFORMATION  
34, rue du Wacken  
67295 STRASBOURG.

demande reçue au service régional de l'archéologie le 09/05/2017 et référencée sous le n° 170291

Considérant que, en raison de leur nature, les travaux envisagés sont susceptibles d'affecter des éléments du patrimoine archéologique, car ils sont situés dans un secteur avec une forte probabilité archéologique (secteur du bassin de la Delle anciennement occupé aux époques protohistoriques et antiques).

# Arrêté de prescription

Verdignon (Nord), Arrêté n°2017-107  
Prescription de diagnostic archéologique

Considérant qu'il est nécessaire de mettre en évidence et de caractériser la nature, l'étendue, l'intérêt et le degré de conservation des vestiges archéologiques éventuellement présents afin de déterminer le type de mesures dont ils doivent faire l'objet ;

## ARRÊTE

### Article 1 : caractéristiques

Un diagnostic archéologique sera réalisé sur le terrain faisant l'objet des aménagements, ouvrages ou travaux considérés, sis à Verdignon (Nord) 36, route de Messines - section cadastrale : CC 145, 245-437, 451 et 452

Le diagnostic archéologique comprend, outre une phase d'exploration du terrain, une phase d'étude qui s'achève par la remise du rapport sur les résultats obtenus

### Article 2 : désignation de l'opérateur d'archéologie préventive

Le diagnostic archéologique sera réalisé sous la responsabilité de l'Institut national de recherches archéologiques préventives et sous le contrôle scientifique et technique de l'Etat

### Article 3 : conditions de réalisation

Le diagnostic sera exécuté conformément au projet d'opération élaboré par l'opérateur chargé du diagnostic sur la base des prescriptions définies aux articles suivants

Les conditions de sa réalisation seront définies contractuellement, en application de l'article R 523-31 du code du patrimoine

### Article 4 : emprise

En application de l'article R 523-23 susvisé, le diagnostic portera sur l'ensemble de la surface du terrain assiette du projet. En effet, l'ensemble du terrain peut faire l'objet de travaux affectant le sol et par conséquent susceptibles de porter atteinte aux vestiges archéologiques éventuellement présents (aire de travail des épierrées, chemins d'accès à créer). L'emprise du diagnostic s'inscrit notamment dans la perspective d'éventuelles prescriptions postérieures au diagnostic de modification de projet, en application de l'article R 523-16 du code du patrimoine susvisé. En effet, la nature et la localisation des vestiges archéologiques repérés peuvent parfois conduire à modifier ou déplacer des aménagements ou constructions projetés. Il importe dans ce cas que les résultats du diagnostic puissent aider l'aménageur à trouver, sur son terrain, un emplacement compatible avec la préservation du patrimoine archéologique

### Article 5 : superficie

Les investigations porteront sur une superficie d'environ 104305 m<sup>2</sup>

### Article 6 : objectifs

En application de l'article R 523-25 susvisé, le diagnostic a pour objectif de détecter et caractériser les vestiges archéologiques. Il doit être conçu comme une opération archéologique à part entière, dépassant le simple constat de présence ou absence de site

Il doit notamment fournir les informations nécessaires pour statuer sur les suites à donner et permettre d'établir un bilan des charges scientifiques dans le cas où le préfet de région déciderait de prescrire une fouille

# Arrêté de prescription

Verlinghem (Nord) - Arrêté n°2017-107  
Prescription de diagnostic archéologique

Le diagnostic doit permettre d'évaluer les vestiges archéologiques

- sur leur profondeur et enfouissement
- leur contexte environnemental
- leur nature
- leur extension
- sur leur état de conservation
- leur puissance stratigraphique
- leur chronologie

Le projet de diagnostic présenté par l'opérateur d'archéologie préventive précisera

- la durée de l'opération,
- la composition de l'équipe (nature et compétences),
- les moyens mécaniques mis en oeuvre,
- les moyens spécifiques (spécialement éventuels),
- ainsi que toutes propositions de techniques ou de méthodes aptes à répondre aux objectifs fixés

## Article 7 : principes méthodologiques

La détector des vestiges nécessitera la réalisation de tranchées continues à la pelle mécanique, sous la direction du responsable scientifique et selon ses directives. La pelle mécanique, travaillant en rétroaction, sera munie d'un godet à lame usée d'une largeur d'au moins 1,8 m. Les tranchées seront réparties de manière régulière sur la totalité de l'emprise à évaluer et la surface décapée représentera au moins 10% de sa superficie.

Si des vestiges sont détectés durant cette phase, des fenêtres complémentaires ou surfaces testés, seront ouvertes afin de caractériser ceux-ci. Elles auront une taille suffisante pour permettre une vison en plan et en coupe représentative et porteront la surface ouverte dans les secteurs sensibles à environ 12 à 15%.

Les structures mises au jour devront être correctement caractérisées et datées, au moyen de la fouille, au moins partiellement, d'un nombre significatif d'entrafilés. Elles devront faire l'objet de relevés graphiques précis et être localisées sur un plan. Leur nature d'occupation et l'épaisseur du pacage devront être indiquées. L'emprise du diagnostic ainsi que les limites des tranchées devront être géométrisées précisément (en Lambert 93) sur un fond cadastral à une échelle 1:500.

## Article 8 : contrôle scientifique et technique de l'Etat

Le responsable scientifique de l'opération informera régulièrement le conservateur régional de l'archéologie et l'agent du service régional de l'archéologie chargé du suivi du dossier de l'état d'avancement de l'opération.

Dans les jours précédant la réalisation du diagnostic, il prendra contact (par téléphone ou courriel) avec l'agent du service régional de l'archéologie chargé du suivi du dossier, pour lui indiquer la date exacte de son intervention.

Toute découverte de vestiges sera signalée immédiatement par un appel téléphonique au conservateur régional de l'archéologie ou à l'agent du service régional de l'archéologie chargé du suivi du dossier.

## Article 9 : mesures de conservation préventive

Les mesures appropriées seront prises pour assurer la bonne conservation des structures mises au jour face aux intempéries ou au vandalisme.

Afin d'assurer la bonne conservation des vestiges, les sondages seront rebayés à l'issue de l'intervention. Ce remblaiement pourra se limiter aux secteurs ayant livré des vestiges archéologiques significatifs.

Le remblaiement n'interviendra qu'après accord du conservateur régional de l'archéologie.

# Arrêté de prescription

*Verdun (Nord) - Arrêté n°2017-107*  
Prescription de diagnostic archéologique

## Article 10 : rapport

A l'issue du diagnostic, le rapport établi par le responsable scientifique de l'opération sera transmis par l'opérateur à l'archéologue préventive du préfet de région en huit exemplaires, dont un non broché. Le rapport de diagnostic comprendra tous les éléments prévus par l'arrêté du 27 septembre 2004 portant définition des normes de contenu et de présentation des rapports d'opérations archéologiques à savoir :

- + les données administratives,
- + les informations techniques sur l'opération (composition de l'équipe et nombre de jours),
- + un rappel du contexte historique et archéologique (éventuellement recherche archéologique),
- + une présentation complète des observations archéologiques, abondamment illustrée par des relevés et plans (à une échelle la plus grande possible) et au minimum par des photographies,
- + une synthèse des résultats scientifiques, avec une mise en perspective locale et régionale,
- + les études de mobilier et des restes naturels par des spécialistes,
- + L'inventaire du mobilier précisant le ou les propriétaires du terrain lors de l'intervention archéologique.

L'épaveuse du décapage et la cote d'appartenance des vestiges devront être très précisément indiqués.

Une version numérique, identique à la version papier, sera également établie et devra respecter les standards et les normes définies dans le cadre commun d'interopérabilité des systèmes d'information publics.

L'ensemble des textes et illustrations sera fourni sur ordinateur compatible Mac/PC, au format PDF (Adobe Acrobat) numérisé en haute qualité (qualité « presse »). Sur le ordinateur, on trouvera également les données informatisées d'enregistrement (structures, inventaires, mobiliers, topographie...) au format :

- tabulé pour les listes et inventaires,
- RTF pour les textes,
- JPEG ou TIFF pour les images et photos numérisées, en format natif du logiciel utilisé
- pour les fichiers de dessin vectoriel : au format natif du logiciel utilisé et au format PDF vectoriel

## Article 11 : notice scientifique

La notice scientifique, accompagnée de plans et photographies, destinée à une diffusion rapide dans *Archéologie de la France* *info* et dans le *Bilan scientifique régional* sera transmise sous forme numérique.

## Article 12 : le responsable scientifique de l'opération

En application de l'article R 523-23 du code du patrimoine susvisé, le responsable scientifique du diagnostic dont la désignation fera l'objet d'un arrêté ultérieur, doit justifier des qualifications suivantes : apte à titre des occupations murées.

Préalablement à l'intervention de terrain, le responsable scientifique de l'opération consultera le dossier d'aménagement, les informations de la carte archéologique, afin de bien appréhender le contexte archéologique.

A cette occasion, il prendra contact avec l'agent du service régional de l'archéologie chargé du suivi du dossier pour définir les modalités de l'intervention.

Il consultera les documents administratifs nécessaires à l'établissement de son arrêté de désignation comme responsable scientifique d'opération.

## Article 13 : mobilier archéologique

Le mobilier archéologique recueilli au cours de l'opération de diagnostic est conservé par l'opérateur d'archéologie préventive le temps nécessaire à son étude qui, en tout état de cause, ne peut excéder deux ans à compter de la date de fin de la phase terrain du diagnostic.

# Arrêté de prescription

Verlinghem (Nord) - Arrêté n°2017-107  
Prescription de diagnostics archéologiques

L'inventaire, le classement, le conditionnement de ce mobilier seront réalisés en application des articles R. 523-85 à R. 523-88 du titre V du code du Patrimoine suivant l'arrêté du 10 septembre 2004 portant définition des normes d'identification, d'inventaire, de classement et de conditionnement de la documentation scientifique et de mobilier sous des diagnostics et fouilles archéologiques et conformément au « protocole pour la conservation, le conditionnement, l'inventaire et la remise du mobilier et de la documentation scientifique issus des opérations archéologiques ».

L'inventaire de ce mobilier sera établi par parcelle, avec l'indication du nom du ou des propriétaires au moment de la découverte du mobilier. Il sera transmis avec le rapport de diagnostic, sous forme électronique et communiqué par le préfet de région au(x) propriétaire(s) du (ou des) terrain(s) qui pourraient faire valoir leurs droits dans un délai d'un an à compter de la réception de l'inventaire conformément à l'article 523-87 du code du patrimoine.

## Article 14 : exécution de l'arrêté

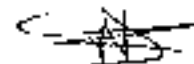
Le directeur régional des affaires culturelles est chargé de l'exécution du présent arrêté, qui sera notifié à Monsieur Alain BONDUE (S.A.S. EUROINFORMATION), à Monsieur le Président du S.M.O.M. ALLIANCE NORD-OUEST, et à l'Institut national de recherches archéologiques préventives.

En application de l'article R. 423-17 du code du patrimoine sus-cité, l'autorisation d'urbanisme ou autre autorisation d'aménagement liée aux travaux envisagés ci-dessus considérés et délivrée par l'autorité compétente devra mentionner que l'exécution des prescriptions archéologiques est un préalable à la réalisation des travaux.

Le sous-inspecteur transmettra une copie de cette autorisation au Service régional de l'archéologie.

Fait à Lille le 24 mai 2017

Pour le Préfet de la Région Hauts-de-France,  
et par dérogation  
pour le directeur régional des affaires culturelles,  
le directeur du pôle Patrimoine et Architecture



Christian Doucalle

# Projet scientifique d'intervention

Diagnostic archéologique D119391

VERLINGHEM(59)- 36 ROUTE DE MESSINES,17/107

## Projet scientifique d'intervention

### 1.- Identification administrative de l'opération

Région	Hauts-de-France	Département	Nord
Commune	Verlinghem		
Lieu-dit	36 route de Messines		
Cadastre	Verlinghem : OC 145-245-432-451-452		

Prescription	N° Arrêté	Réception	Surface	Attribution	Envoi projet
Initiale	17/107	01-06-2017	104305 m <sup>2</sup>	01/06/2017	19-09-2017
Modification	?				

Contexte actuel	Rural	Contexte particulier	
Nature archéologique	Non stratifié		

### 2.- Problématique scientifique

- *Profil du responsable d'opération :*

Spécialité : Généraliste

### 3.- Contraintes techniques

Fond de forme projet non précisé

### 4.- Méthodes et techniques envisagées

- réalisation de tranchées continues réparties sur la totalité de l'emprise accessible, à hauteur de 10 % de l'emprise, en respectant la cote de fond de forme
- ouverture éventuelle de fenêtres à l'emplacement de structures présentant une concentration ou une extension particulière
- réalisation ponctuelle, à des endroits définis avec l'aménageur, de sondages profonds visant à reconnaître la stratigraphie du secteur et à reconnaître d'éventuelles occupations anciennes enfouies
- relevé des vestiges et fouille partielle d'un nombre significatif de structures

## Projet scientifique d'intervention

### 5.- Volume des moyens prévus (en jours)

	Préparation		Terrain		Etude		Opération	
Autre main d'œuvre		J		J		J	0	J
Responsable Opération	1	J	5	J	3	J	9	J
Responsable Secteur		J		J		J	0	J
Spécialiste		J	1	J	1	J	2	J
Technicien		J	5	J	2	J	7	J
Technicien Spécialisé		J		J	2	J	2	J
Topographe		J	1	J	1	J	2	J
<b>Totaux</b>	<b>1</b>	<b>J</b>	<b>12</b>	<b>J</b>	<b>9</b>	<b>J</b>	<b>22</b>	<b>J</b>

- *Moyens particuliers*

Terrain	Etude
Pelle hydraulique de 20 tonnes à chenilles: 5 jours	

### 6.- Délais de réalisation

<b>Préparation</b>	1 jour	<b>Terrain</b>	5 jours	<b>Etude</b>	3 jours
<b>Remise rapport</b>	65 jours après la fin de la phase terrain				

### 7.- Observations complémentaires

Rebouchage INRAP
------------------

#### Directeur-adjoint Scientifique et Technique

Nom du DAST

SAUVAGE, Laurent

## II. Résultats



# 1 Introduction, description de l'opération

## 1.1 Circonstances et conditions réalisation de l'intervention

Cette opération de diagnostic a été réalisée suite au dépôt de permis de construire sur le futur projet d'extension de la société Euroinformation, sur la commune de Verlinghem. Le Service Régional de l'Archéologie des Hauts-de-France a prescrit une intervention de diagnostic (SRA 170291) sur les parcelles cadastrales OC 145, 245, 432, 451 et 452, soit une sur une surface de 104305 m<sup>2</sup>. L'opération s'est déroulée du 25 au 29 septembre 2017, soit 5 jours de terrain. L'équipe archéologique était composée de deux personnes, assistées d'un topographe.

## 1.2 Etat des connaissances avant l'opération, contextes

### 1.2.1 Localisation géographique

La commune de Verlinghem, située dans le département du Nord, fait partie de la MEL (Métropole Européenne de Lille) et est localisée à 8 km au nord-ouest de Lille. Elle est bordée par les communes de Quesnoy-sur-Deûle, Wambrechies, Saint-André-les Lille, Lompret, Pérenchies et Frelinghien.

L'intervention s'est déroulée en zone périurbaine, au sud-est du bourg actuel. Le projet se situe au sud-est du chemin du Bleu Bourdeau qu'il longe (fig.1). Au sud du terrain, se trouvent les locaux initiaux de la société Euroinformation, et à l'ouest et à l'est des terrains agricoles et pâtures bordent l'emprise à diagnostiquer.

### 1.2.2 Topographie

Les parcelles concernées par le projet ont une altitude moyenne de 29 m NGF. L'on se situe sur un point haut de la commune, la moyenne se situant autour de 20 m NGF. Sur les cadastres de 1867, le lit-dit où se situe l'intervention se nomme « Au moulin », et un moulin est présent au sud de la parcelle, preuve s'il en est de la relative hauteur du terrain. La plus ancienne mission photographique de cette zone par l'ign, date de 1951. On y distingue un espace agricole et ce qui peut être un moulin au sud-ouest (hors emprise toutefois) ou son chantier de démolition. Les nombreuses campagnes de photographies aérienne successives font montre de la vocation agricole de cette parcelle au fil du temps et ce jusqu'à nos jours. L'emprise cette parcelle est identique depuis la première photographie aérienne observée jusqu'à nos jours.



**Fig.1** : localisation de l'emprise sur un extrait de photographie aérienne de la zone, au 1/2000.  
© Orthophotoplan 2015.

### 1.2.3 Contexte géologique de l'emprise

Sur la carte géologique au 1/50000 du BRGM de Lille, le terrain diagnostiqué est situé sur un dépôt argilo-limoneux superficiels (LP) de l'ère Quaternaire reposant sur des argiles de l'Yprésien (ère Tertiaire). Les dépôts du Quaternaire semblent assez épais dans ce secteur (cf. L. Deschodt).

L'étude de sol préalablement effectuée par l'entreprise Fondasol a révélé l'existence de limons jusqu'à 5 m de profondeur, ils recouvrent des limons sableux jusqu'à 7 m de profondeur qui eux-mêmes recouvrent des argiles jusqu'à 20m de profondeur, confortant ainsi les descriptifs du BRGM précédemment évoqués.

(fig.2). Trois sondages profonds viennent compléter cette étude. Ils seront développés *infra* (cf. étude géomorphologique L. Deschodt).

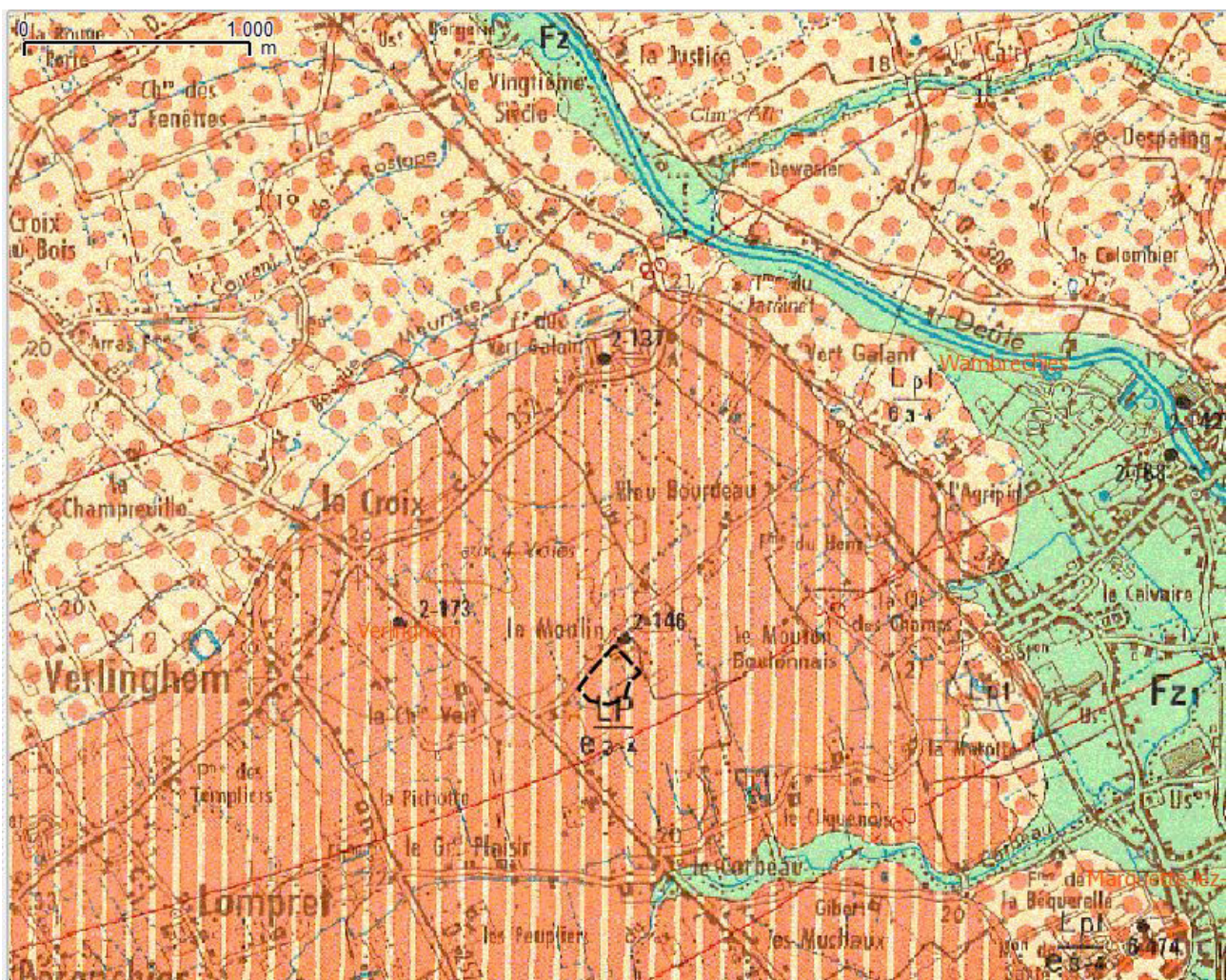


Fig.2 : localisation de l'emprise sur un extrait de la carte géologique du BRGM au 1/50 000.  
© BRGM.

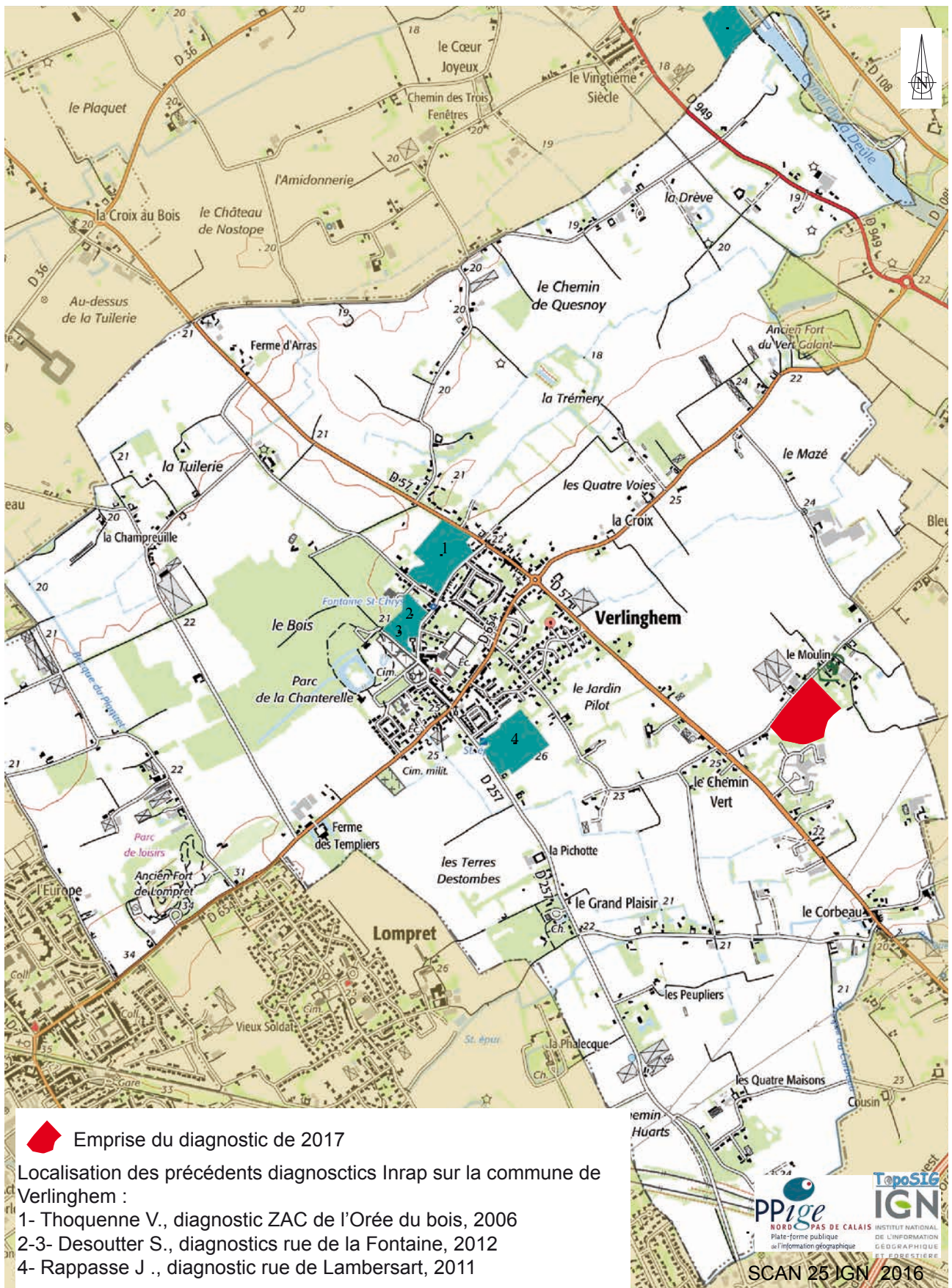


Fig.3 : localisation des précédentes opérations archéologiques sur la commune de Verlinghem.  
 © Yves Creteur, Géraldine Teyssière-Inrap.

### 1.2.4. Contexte archéologique

La commune de Verlinghem a déjà fait l'objet de plusieurs diagnostics archéologiques. En 2006, à la « ZAC de l'orée du bois » (Thoquenne, 2006) seul un lot de céramique datant du XV<sup>e</sup> siècle avait été mis au jour. Il n'était toutefois rattaché à aucune structure archéologique.

Au sud de cette opération, deux diagnostics contigus ont été effectués en 2012 (Desoutter, 2012a et b). Très peu de vestiges archéologiques y ont été mis en évidence. Seules quelques structures excavées des époques moderne et/ou contemporaine sont à évoquer. Elles n'ont livré aucun mobilier archéologique.

Enfin, au sud-ouest du présent diagnostic, une dernière opération préventive peut être signalée (Rappasse, 2011). Elle s'est déroulée, « rue de Lambersart ». Là encore, hormis un réseau de drains, aucun vestige archéologique n'a été remarqué. (fig.3)

Enfin, l'unique mention concernant Verlinghem dans la Carte Archéologique de la Gaule (Delmaire, 1996) fait état d'une découverte « d'antiquités » mais elle est à prendre avec précaution car sa localisation semble incertaine.

Le toponyme de la commune en -ingham, attesterait d'une fondation datant du Haut Moyen Age mais aucun vestige archéologique en attestant n'a été découvert pour l'heure.

Pourtant la commune de Verlinghem n'est pas sans témoignages anciens. Ainsi, un site fossoyé « La Chanterelle » est à noter à l'ouest du bourg actuel. Au sud de celui-ci « La ferme des Templiers » est probablement d'origine moderne (XVI<sup>e</sup> siècle). Elle présente un plan en « U » ainsi que des contreforts et un pont-levis classé aux monuments historiques. La fontaine Saint-Chrysole et l'église du même nom, non loin du site, sont également classées aux monuments historiques.

## 1.3 Méthodes mises en œuvre et objectifs

### 1.3.1 Technique de sondage et contraintes techniques

L'opération a consisté en la réalisation de sondages répartis sur toute la parcelle prescrite d'une surface de 104305 m<sup>2</sup>. Cette large surface n'a pu être investiguée en totalité du fait de plusieurs facteurs. Ainsi, au sud de la parcelle, une plateforme en cailloux d'une superficie de 3530 m<sup>2</sup> avait été installée par l'aménageur en amont du diagnostic. Un test mécanique a été pratiqué sous cette dernière, révélant une épaisseur de cailloux de 0,80 m et un terrain naturel totalement décompacté, abîmé et illisible (fig.4). Cette surface n'a donc pu faire l'objet d'autres sondages archéologiques. Les parcelles OC 245, 432, 451 et 452 faisaient également partie de la prescription mais la présence de locaux (bureaux et data center) existants en a empêché le diagnostic archéologique réduisant ce dernier à la seule parcelle OC 145, soit une surface de 39285 m<sup>2</sup> (mais 35755 m<sup>2</sup> accessibles, plateforme déduite). Cette parcelle était divisée en deux parties d'inégales surfaces par une clôture fermant l'accès à ce site sécurisé, contraignant donc l'implantation des tranchées. (fig.5).

Le diagnostic a été réalisé à l'aide d'une pelle hydraulique équipée d'un godet rétro de 3 m de largeur.

17 tranchées de sondage et trois extensions ont été ouvertes lors de l'intervention. Elles totalisent une surface d'ouverture de 4349 m<sup>2</sup> correspondant à 12,16 % de l'emprise accessible.



Fig.4 : vue de l'épaisseur de cailloux de la plateforme (TR 5).  
© Géraldine Teysseire - Inrap.

Département :  
NORD

Commune :  
VERLINGHEM

Section : C  
Feuille : 000 C 02

Échelle d'origine : 1/2000  
Échelle d'édition : 1/2500

Date d'édition : 07/10/2015  
(fuseau horaire de Paris)

Coordonnées en projection : RGF93CC50  
©2014 Ministère des Finances et des  
Comptes publics

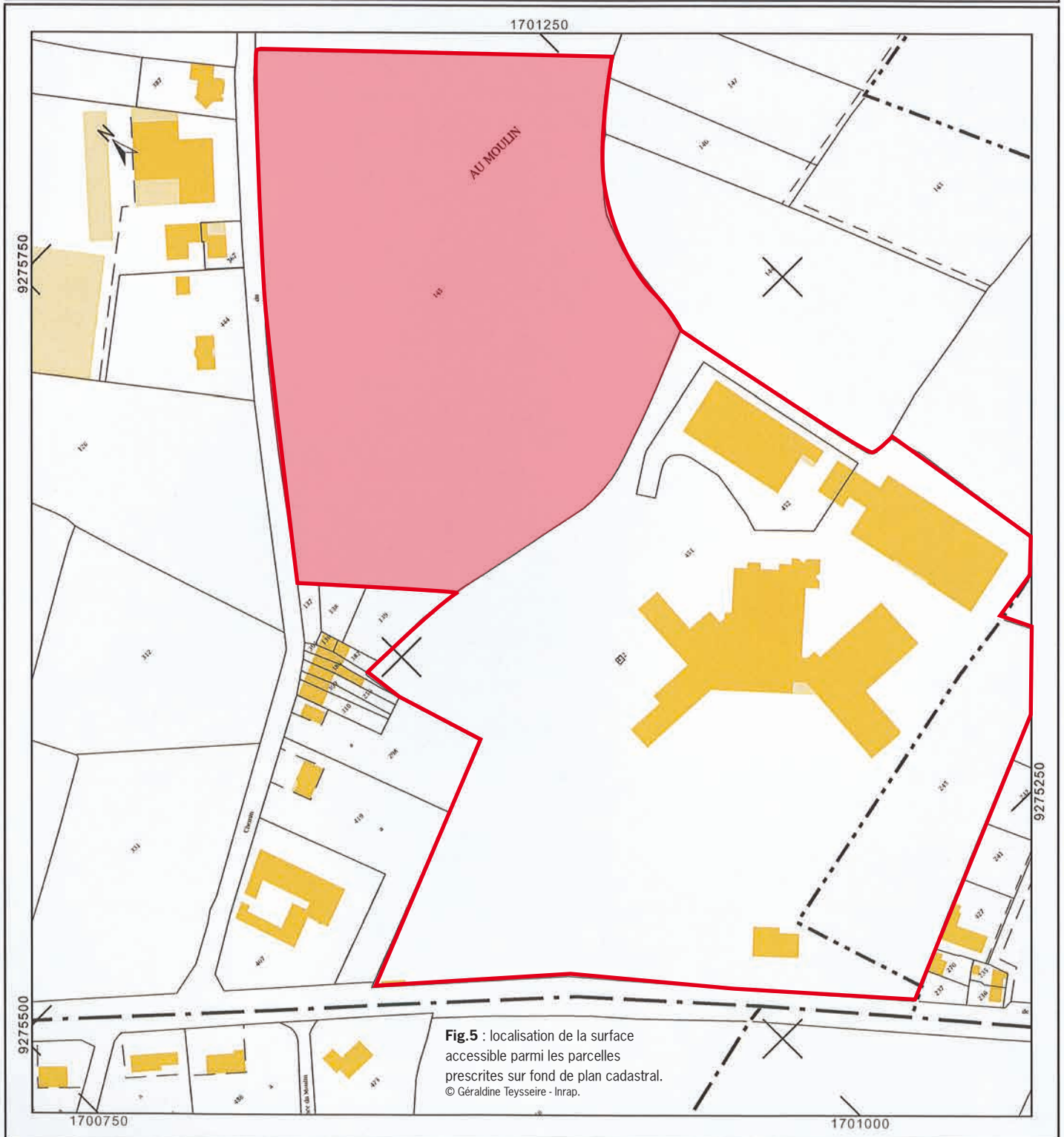
DIRECTION GÉNÉRALE DES FINANCES PUBLIQUES

-----  
EXTRAIT DU PLAN CADASTRAL  
-----

Le plan visualisé sur cet extrait est géré  
par le centre des impôts foncier suivant :  
LILLE II  
CENTRE DES FINANCES PUBLIQUES  
22 RUE LAVOISIER 59466  
59466 LOMME CEDEX  
tél. 03 20 30 49 54 -fax  
cdf.lille-2@dgi.finances.gouv.fr

Cet extrait de plan vous est délivré par :

cadastre.gouv.fr



**Fig.5** : localisation de la surface accessible parmi les parcelles prescrites sur fond de plan cadastral.  
© Géraldine Teysseire - Inrap.

### 1.3.2 Objectifs

La construction d'un bâtiment de bureaux, d'une nouvelle plate-forme informatique et d'un parking, aura pour conséquence la destruction des vestiges sur les parcelles concernées.

Les objectifs du diagnostic sont les suivants :

- Mesurer la densité de vestiges dans ce secteur, leur état de conservation et leur altitude d'apparition.
- Identifier les types d'occupations et leurs périodes.
- Fouiller et relever un nombre significatif de structures.

Le présent diagnostic doit permettre de compléter les connaissances sur les occupations anciennes dans ce secteur et apporter des informations sur le contexte géomorphologique.

### 1.3.3. Protocole d'enregistrement

Les tranchées ont été relevées au GPS, repérées en coordonnées Lambert et replacées sur le plan cadastral, traitement avec le logiciel de topographie Autocad Covadis Map 3d, système de coordonnées Lambert Zone 1, altitudes exprimées en ign69).

Toutes les structures archéologiques ont été numérotées de 1 à n au fil de l'ouverture des tranchées. Le mobilier présent en surface a été ramassé et associé au numéro auquel il correspond. Les structures testées ont été enregistrées, relevées et photographiées.

Le mobilier archéologique a été nettoyé, et inventorié selon un protocole d'enregistrement réalisé par matière puis conditionné par caisse numérotée selon les modalités des critères établis par le protocole mis en place par le Service Régional de l'Archéologie du Nord-Pas-de-Calais.

### 1.3.4 L'archivage des données

Tous les éléments observés sur le terrain (description et relevé des structures ; inventaire, description et dessin du mobilier) sont présentés dans ce rapport. L'ensemble de la documentation papier (minutes de terrain) a été saisi sur ordinateur et une sauvegarde informatique sera réalisée.

Tout le mobilier archéologique est conservé temporairement à la base Inrap de la Z.I de la Pilaterie à Villeneuve d'Ascq.

## 2. Résultats, l'occupation archéologique

Le diagnostic a permis de mettre au jour 282 structures réparties dans toutes les tranchées (fig.6).

Les vestiges archéologiques découverts apparaissent dans un niveau de limon (Bt) orangé contenant par endroits de fortes concentrations d'oxydes ferro-manganiques. Le niveau de lecture des vestiges est situé sous le décapage de la terre végétale (mesurant approximativement 0,25 m d'épaisseur). Celle-ci surmonte un niveau plus ou moins épais de colluvions anciennes brun clair lui-même sus-jacent à l'apparition des vestiges. La profondeur des tranchées varie donc de 0,50 à 1,20 m en fonction de leur localisation et de la présence ou non de ce niveau de colluvion brun vierge de tout vestige.

La grande majorité des vestiges se présente sous la forme de fossés (259 individus, soit 91 % du total) et de rares fosses (11 individus). Deux trous de poteau, quatre structures clairement identifiées comme contemporaines (une tranchée, un impact d'obus et deux zones de remblais divers) et six « niveaux » (nappe de sédiments d'origine anthropique à la fonction non établie) viennent compléter ce corpus de structures.

Les tests mécaniques et fenêtres d'observation ont été effectués aux endroits qui nous ont semblés les plus pertinents : structures ayant livré du mobilier en surface, structures dont l'orientation diffère de la majorité des fossés, etc.

Deux « zones » (fig.7) où les vestiges plus anciens se concentrent peuvent être distinguées. La première est localisée à l'est tandis que la seconde se trouve au sud-ouest de l'emprise. La zone à l'est est caractérisée par une majorité de vestiges datant des périodes protohistorique et/ou romaine tandis que la seconde est caractérisée par des vestiges datés du Moyen-âge.

Quatre phases d'occupation du site ont été distinguées par l'étude céramique (cf. V. Vincent) ; la présentation des vestiges suivra globalement ce phasage.





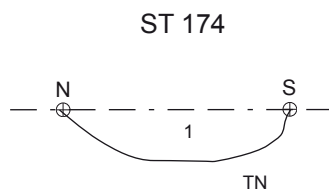


La plus ancienne phase d'occupation date de la période protohistorique. Les éléments identifiés comme appartenant à cette période proviennent de 6 structures différentes, dont cinq fossés. Le fossé st 174 (fig.8 et fig.9) a livré du mobilier de cette période. Il est orienté ONO/ESE, il mesure 0,60 m de largeur et est conservé sur une profondeur de 0,13 m. Les structures 210 et 138 (tranchées 16 et 14) et potentiellement la st 255 (tranchée 17) sont synchrones de ce dernier. En effet, l'orientation de ces fossés indique probablement une chronologie assez similaire. Les fossés 210 et 138 sont de surcroît d'égales dimensions. Enfin le fossé 255, plus large, a livré quant à lui de la céramique de la même période.

La fosse ou niveau (st 55) a été testée à la pelle mécanique. D'une épaisseur de quelques centimètres, elle a livré quelques tessons attribuables à cette période. Ce niveau (fig.10) est constitué de limon argileux grisâtre contenant des charbons de bois en quantité certaine. Elle est recoupée par le fossé moderne st 54, mais aucune autre conclusion ne peut en être tirée.

Les autres structures de cette période n'ont pas été testées, le mobilier provient seulement du décapage de surface.

L'occupation datée de la période suivante, l'époque romaine, est représentée par des structures dont 11 ont livré du mobilier attribué à cette période. Deux fossés (st 26 et 58), le comblement d'une grande dépression dans le substrat ou un niveau indéterminé et 8 fossés en forment le corpus identifié. Le fossé st 59 a été testé mécaniquement, il mesure 0,58 m de largeur et est assez arasé puisqu'il n'est conservé que sur 0,10 m de profondeur. Le fossé st 57, bien que n'étant pas daté par du mobilier céramique est peut-être à rapproché de ces vestiges. En effet, il se situe à proximité de ces derniers et présente des comblements assez similaires (fig 11). Aucun indice supplémentaire nous ne permet de proposer un plan plus organisé des vestiges associés à cette période.



**Fig.8** : coupe du fossé st 174, au 1/20.  
© Géraldine Teysseire - Inrap.

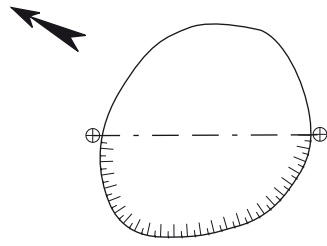
174.1 - Limon sableux jaunâtre, poches blanchâtres, rares inclusions d'oxydes ferro-manganiques



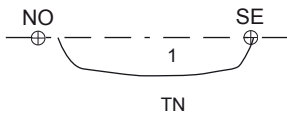
**Fig.9** : vue du fossé st 174, vers l'est.  
© Géraldine Teysseire - Inrap.



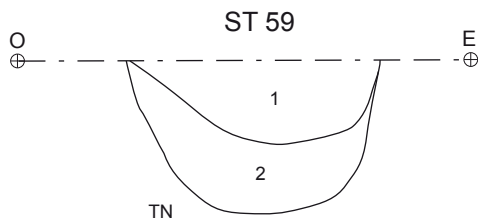
**Fig.10** : vue de la st 55, vers l'ouest.  
© Géraldine Teysseire - Inrap.



ST 58

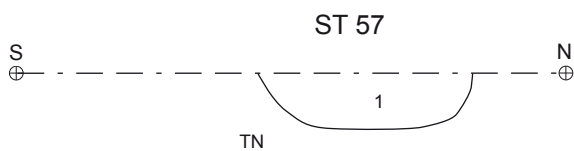


58.1 - Limon argilo-sableux brun, inclusions d'oxydes ferro-manganiques



ST 59

59.1 - Limon sableux gris clair, traces de charbons de bois  
59.2 - Limon plus argileux jaune-gris, traces d'oxydes ferro-manganiques



ST 57

57.1 - Limon argilo-sableux gris jaune, inclusions de charbon de bois, rares inclusions de TCA et d'oxydes ferro-manganiques

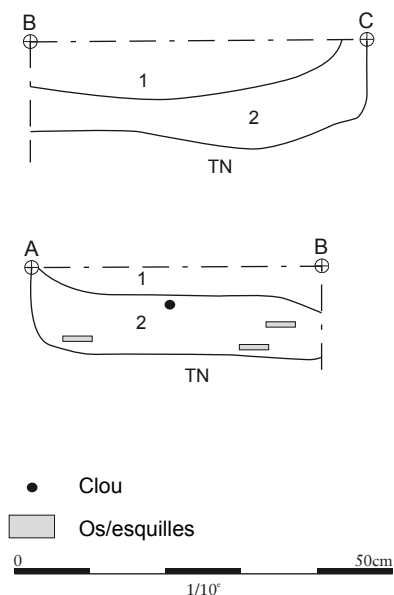


Fig.11 : coupes et clichés des structures romaines, st 57 à 59.  
© Emmanuel Elleboode, Géraldine Teyssière - Inrap.

La st 17 (TR3), de grande dimension n'a pu être observée en totalité, elle a été interprétée comme une légère dépression ou un niveau. Elle a livré du mobilier céramique du I-II<sup>e</sup> siècle de notre ère. Parmi celui-ci des éléments lithiques ont été collectés. D'après l'observation d'E. Martial (Inrap) il s'agit d'un éclat cortical et d'un racloir sur éclat. Etant en position résiduelle, la fourchette chronologique de ces objets est large (du néolithique à l'Age du Bronze) et ne peut être affinée par la présence d'une céramique synchronone.

Le niveau 243 est mis au jour au nord de la tranchée 16, sur quelques mètres de longueur. Il n'a pas été testé, du mobilier romain y a été collecté en surface. De plus, il se trouve recoupé par les fossés st 244 à 246.

Bien que non datée, une structure (st 140) remarquable a été mise au jour dans la tranchée 14. Celle-ci est de forme quadrangulaire, elle mesure environ 1,20 par 1,50 m de côté. Elle a fait l'objet d'un sondage manuel en 1/4 (fig.12 et 13). Bien que n'ayant pas livré du mobilier datant, elle sera rapprochée de cette phase romaine (ou potentiellement de la fin de l'Age du Fer). En effet, la fouille a révélé un niveau cendreux ainsi qu'une quantité d'ossements brûlés et quelques clous. Ces artefacts ont fait l'objet d'une étude anthropologique. (cf. étude anthropologique S. Oudry.) Le reste de la céramique de cette période provient seulement du niveau de surface visible au décapage.



- 1- Limon sableux, fin, compact et homogène, beige clair, traces de charbon de bois  
 2 - Niveau de cendre et de charbons de bois noirâtre, homogène, esquilles assez nombreuses, clous et nodules de terre cuite

**Fig.12** : coupes au 1/20 du 1/4 fouillé de la st 140.  
 © Emmanuel Elleboode, Géraldine Teysseire - Inrap.



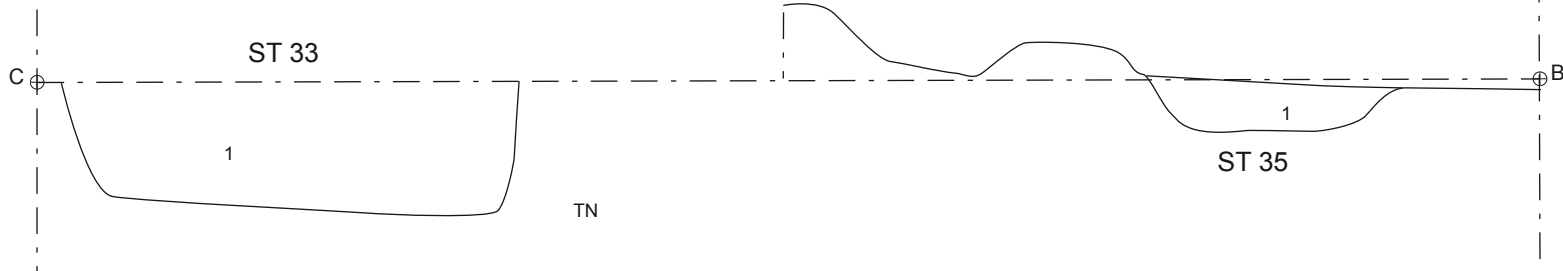
**Fig.13** : vue du 1/4 fouillé de la st 140, vers le nord.  
 © Emmanuel Elleboode - Inrap.

La période suivante est marquée par une (voire deux) fosses et six fossés. Ces structures sont datées du XIII<sup>e</sup> siècle. Les fossés 33 et 34 ont fait l'objet d'un sondage à la pelle mécanique. Il a révélé pour le premier (fig.14 et 15) une structure de 1,20 m de largeur, aux bords réguliers à quasiment verticaux et un fond relativement plat (profondeur : 0,36 m) et pour le second (fig.16 et 17) un fossé plus large (2,20 m) et plus profond (0,40 m) dont le profil est en cuvette. Le comblement du premier fossé (33.1) est le témoin de remplissage progressif aux discrets litages hydromorphes tandis que le fossé 34 possède trois comblements distincts. Le comblement le plus ancien (34.3) est un limon plutôt argileux, brun, contenant beaucoup d'oxydes ferro-manganiques. Le comblement sus-jacent (34.2) est également argileux, il contient en outre des nodules de charbon de bois. Enfin, le comblement final (34.1) est caractérisé par un aspect plus sableux que les précédents. Quelques traces d'hydromorphie y sont visibles.



Fig.15 : vue du fossé st 33, vers l'est.  
© Emmanuel Elleboode - Inrap.

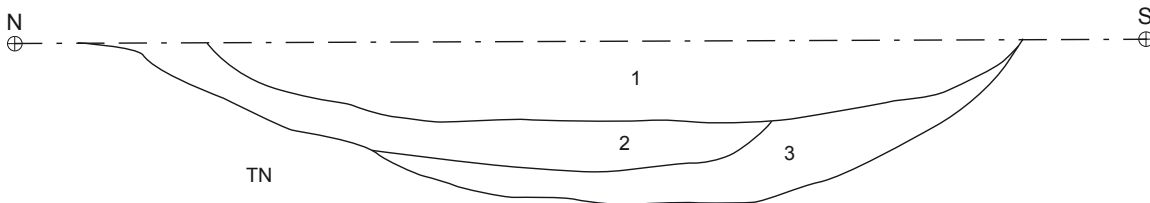
Fig.14 : coupe du fossé st 33, au 1/20.  
© Géraldine Teysseire - Inrap.



33.1 - Limon jaune à jaune clair sablo-argileux, traces hydromorphes en discret litage sur le fond, traces d'oxydes ferro-manganiques  
35.1 - Limon jaune à jaune clair sablo-argileux, rares oxydes ferro-manganiques



ST 34



35.1 - Limon sablo-argileux jaune à jaune clair, rares oxydes ferro-manganiques  
35.2 - Limon argileux gris foncé, violacé, nodules de charbon de bois, présence d'oxydes ferro-manganiques  
35.3 - Limon argileux grisâtre à brun, contenant de nombreuses inclusions d'oxydes ferro-manganiques



Fig.16 : coupe du fossé st 34, au 1/20.  
© Géraldine Teysseire - Inrap.

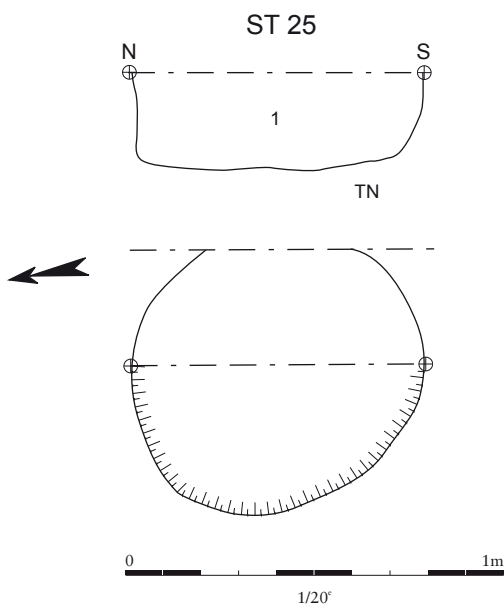


Fig.17 : vue du fossé st 34, vers le sud.  
© Emmanuel Elleboode - Inrap.

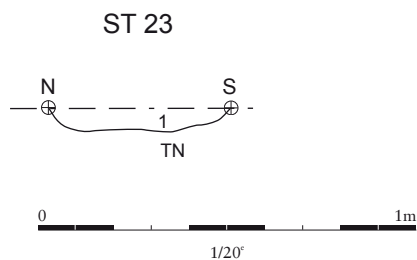
Le fossé st 46 (TR4) est situé au sud du fossé 34 et peut potentiellement en être un prolongement au sud. Il semble qu'il soit parallèle au tronçon de fossé st 42 (TR4) mis au jour plus à l'ouest et paraissant être orienté N/S tout comme les fossés 34 et 46 précédemment évoqués. Il est difficile de les associer à un enclos, faute de fossés formant des retours, un parcellaire nord/sud peut être évoqué. Le fossé st 13 (TR3) peut éventuellement être rattaché aux fossés précédemment évoqués (34 et 46). L'orientation du fossé st 13, même si elle est incertaine, peut correspondre au prolongement des fossés 34 et 46 (orientation N/S).

Une extension a été effectuée à l'endroit du sondage mécanique. Elle a révélé le croisement des fossés 33 et 34, et tous deux participent d'un large réseau dont le plan n'a pu être intégralement perçu.

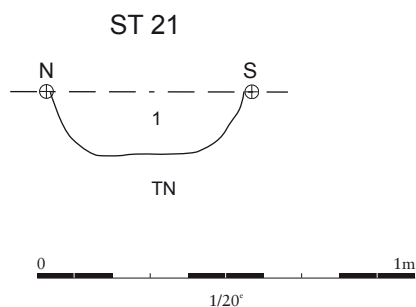
La fosse st 25 (TR 3) a été découverte 40 m au sud-ouest des fossés (fig.18) précédemment décrits. Elle est de forme circulaire (0,70 m de diamètre) et mesure 0,25 m de profondeur. Son comblement est un limon plutôt argileux brun à brun foncé, contenant des inclusions de charbons de bois.



25.1 - Limon argilo-sableux gris-brun, rares inclusions de charbon de bois, nodules d'oxydes ferro-manganiques



23.1 - Limon sableux gris jaune, traces blanchâtres hydromorphes, rares nodules d'oxydes ferro-manganiques



21.1 - Limon sableux brun clair, homogène, rares nodules d'oxydes ferro-manganiques

**Fig.18** : coupes de la fosse st 25 et des fossés st 21 et 23, au 1/20.  
© Géraldine Teyssière - Inrap.

Dans cette même tranchée, deux fossés parallèles (st 21 et 23) entre eux ont été testés manuellement (fig.19). Les sondages ont révélé des structures mesurant 0,06 (st 23) à 0,18 m (st 21) de profondeur, un comblement assez proche de la st 25 et un profil au fond relativement plat.

À la période moderne, l'occupation du site est marquée par un réseau de fossés très dense. Deux types de fossés ont été observés. Les premiers situés au centre de la parcelle investiguée, sont caractérisées par des dimensions conséquentes que nous n'avons pu observées en intégralité du fait de la présence de la clôture. Situés au sud des tranchées 9 et 11 à 16 (st 54-103-137-208), ils peuvent mesurer jusqu'à 13 m de largeur. Le comblement de ces structures est un limon difficilement distinct des colluvions sus-jacentes ; il est brun, argileux et très proches de ces dernières dans son aspect. Aucun de ces tronçons mis au jour n'a été testé à la pelle mécanique, car ils apparaissaient déjà en moyenne à 1 voire 1,20 m de profondeur. Il ne nous a pas paru opportun d'approfondir plus en avant ces structures. Du mobilier y a été collecté en surface dont deux fragments de pieds de verres à boire (158441-152-54-1).

Les seconds types de fossés mis au jour sont des fossés mesurant de 0,50 à 0,60 m de largeur. Leur comblement est un limon sableux brun à jaune, très homogène. Très nombreux, ces derniers se croisent de manière perpendiculaire, notamment sur la partie nord du site. Cette régularité, associée à la fréquence des creusements (parfois 2 m séparent les fossés parallèles) permet d'envisager un réseau de drainage, leur morphologie peut correspondre (largeur et comblement sableux) mais leur quantité pose question. La fonction de ce dense réseau fossoyé est alors délicate à avancer : cela correspond-il à une culture en particulier ? La culture des asperges peut être évoquée (Desoutter 2016, pp. 374-384) comme à Loon-Plage, la chronologie pourrait correspondre. Toutefois, les fossés présents sur le site de Loon-Plage montrent un maillage encore plus resserré.

Les fossés st 274 et 275 ont été testé mécaniquement, leur profil est arasé (0,10 m d'épaisseur) et ils présentent un fond relativement plat.

(fig.20)



Fig.19 : vue de la fosse st 25, vers le SE.  
© Géraldine Teysseire - Inrap.

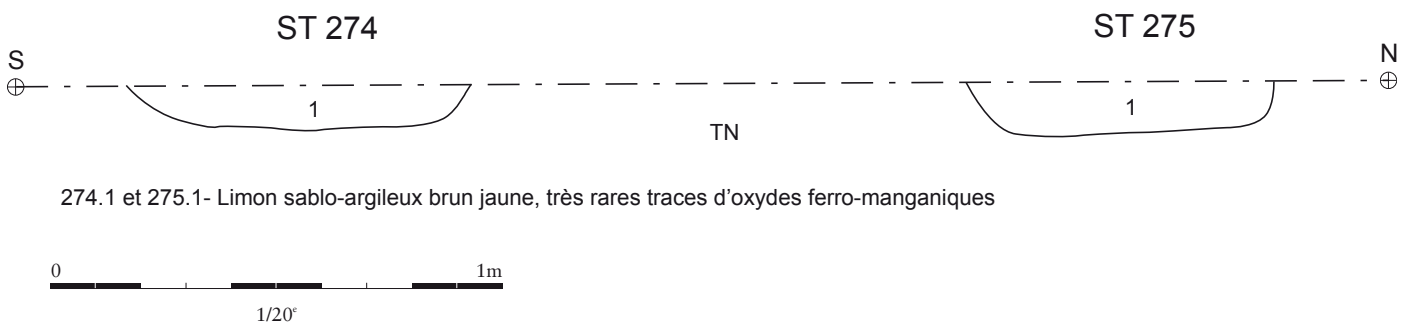


Fig.20 : coupes des fossés st 274 et 275, au 1/20.  
© Géraldine Teysseire - Inrap.

L'un de ces fossés (st 272) a livré une monnaie (fig.21 et 22) dans son comblement. Celle-ci a été identifiée comme étant un liard du XVII<sup>e</sup> s. par L. Notte (Inrap).

Comté de Looz, Ernest de Bavière, évêque de Liège (1581-1612), atelier de Maeseyck : 13 déc. 1607-...  
...]VS•DVX•BAVARIE |

Buste à gauche.

COME[. ...]EN[.]IS |

Écu couronné.

Liard, Cu (?), 3,83 g, 4 h, 27 mm, Usure 3 (non nettoyée).

Réf. : de Chestret de Hanneffe 1890, 571 — Dengis 2007, 994.



**Fig.21** : vue de la monnaie (avers).  
© Géraldine Teysseire - Inrap.



**Fig.22** : vue de la monnaie (revers).  
© Géraldine Teysseire - Inrap.

#### Biblio :

Chestret de Hanneffe (Baron J. de). — *Numismatique de la principauté de Liège et de ses dépendances (Bouillon, Looz) depuis leurs annexions. I<sup>e</sup> partie*. Bruxelles : Hayez, 1890 (Mémoire de l'Académie Royale de Belgique, tome L).

Dengis (Jean-Luc). — *Les monnaies de la principauté de Liège. III. De Gérard de Groesbeeck à au rattachement à la France (1564-1794)*. Wetteren : Moneta, 2007 (Collection Moneta 55).

Le fossé st 156 a non seulement livré de la céramique (cf. étude céramologique) mais aussi une épingle en alliage cuivreux. Celle-ci possède une tête ronde comportant une rainure périphérique en spirale (158441-111-156-1).

La chronologie de ces fossés (1/3 nord du site) reste délicate à déterminer, car si certains d'entre eux ont livré du mobilier moderne, d'autres ont livré du mobilier plus ancien (XII<sup>e</sup> voire romain) dans ce qu'il semble être un même réseau fossoyé. Le mobilier, très fragmenté, est probablement résiduel. C'est pourquoi ils sont représentés comme « indéterminés » sur le plan général. Trop peu d'indices nous permettent de les rattacher formellement à la période Moderne avec certitude.

Quelques structures sont associées à la période contemporaine, vestiges de guerre et autres ; ils ne seront pas plus détaillés ici.

### 3. Étude céramologique (V. Vincent)

Le diagnostic de Verlinghem a livré une petite quantité de céramiques, comptant 118 fragments pour 8 individus. Le mobilier est extrêmement fragmenté. Certains éléments sont même clairement émoussés, ce qui semble indiquer un dépôt secondaire. La nature des vestiges se constituant majoritairement de fossés peuvent expliquer la récurrence du phénomène. Malgré les mauvaises conditions de conservation du matériel, celui-ci montre une certaine diachronie puisque la chronologie s'étire de la Protohistoire ancienne à l'époque moderne (tab.1).

Six structures (50, 55, 174, 176, 255 et 282) contenaient du mobilier rattachable à la période protohistorique. Il convient de préciser que vu l'indigence de la céramique et son extrême fragmentation, il ne s'agira ici que de décrire des tendances et non des affirmations. Une pâte assez fine à dégraissant calcaire dissout (dont il ne reste plus que les pores vides) a été mise au jour dans les structures 55 et 176. Il s'agit d'une production caractéristique de l'Âge du Bronze à la Tène ancienne. À côté de celle-là, du matériel modelé à inclusions de quartz très visible ou un autre à l'aspect plus sableux et lisse peuvent aussi être mentionnés. Ils appartiennent globalement à la terre cuite protohistorique.

La céramique gallo-romaine est mieux représentée avec 56 fragments soit 47,4 % du matériel total. Elle se répartit dans onze structures (17, 26, 58, 59, 83, 84, 119, 127, 150, 221 et 243). Si la majorité peut être datée du Haut Empire et même plus précisément des I<sup>er</sup>-II<sup>e</sup> siècle, deux structures semblent plus précoces et correspondre à La Tène IIB ou au tout début de l'époque gallo-romaine. En effet, celles-ci (st. 58 et 83) ont livré uniquement de la céramique modelée (également nommée « non tournée ») avec des inclusions de chamotte grise de différents modules visibles à l'œil nu. Un pot à col concave et lèvre éversée a pu être recollé et dessiné (fig.23). Un décor réalisé à l'ongle peut être observé sur le haut de la panse. Le reste de la céramique se compose en grande majorité de communes sombres et claires. Un fragment de sigillée, originaire des ateliers de Lezoux peut être signalé en structure 243.

Huit structures, ayant livré 21 tessons sont datables du XII<sup>e</sup> siècle. Elles se composent des numéros : 4, 25, 33, 42, 49, 118, 164 et 171. L'ensemble est dominé par des pâtes extrêmement granuleuses dues à une multitude de grains de quartz présents à la surface de l'objet dont la couleur varie du gris soutenu ou gris-brun tirant parfois sur les rouges. Comme l'a signalé dans un article K. De Groote, à partir du XII<sup>e</sup> siècle la céramique se subdivise en éléments à dégraissant fin (comme la TCG, terre cuite grise) et d'autre à dégraissant grossier (TCGgran et TCRgran)<sup>1</sup>. On retrouve ainsi ce type de pâte dans l'atelier de production de Lapugnoy daté du XII<sup>e</sup> siècle, identifié lors d'un diagnostic de 2006 par S. Oudry<sup>2</sup>. J.-C. Routier indique aussi dans un article de 2004 que les pâtes granuleuses apparaissent à partir du XI<sup>e</sup> siècle sur le littoral<sup>3</sup>. On note également la présence de décor festonné sur la lèvre de deux individus. Ce type de décor se retrouve sur le matériel daté du XII<sup>e</sup> siècle sur le site de Cysoing<sup>4</sup>, sis en métropole lilloise. Il est connu dès le XI<sup>e</sup> siècle dans le Douaisis<sup>5</sup> et en Flandres occidentale<sup>6</sup>. Il semble toutefois caractéristique du milieu du XII<sup>e</sup> siècle à Douai ou même dans l'atelier de production de Flines-lez-Raches (daté de la seconde moitié du XII<sup>e</sup> siècle)<sup>7</sup>. Un autre décor peut aussi être observé, celui d'un décor à la molette formé de petits casiers venant rythmer la lèvre d'une oule. Ce type de décor apparaît dès le X<sup>e</sup> siècle en Flandre avec des molettes en carré ou triangle<sup>8</sup>. Il devient courant dans la région au XI<sup>e</sup> et XII<sup>e</sup> siècle et se retrouve encore dans certains répertoires lillois et valenciennes du XIII<sup>e</sup> siècle<sup>9</sup>. La fouille de l'atelier de production de Tournai de la fin XII<sup>e</sup>-début XIII<sup>e</sup> siècle a permis d'ailleurs d'en identifier une grande variété.

1. De Groote 2006, p. 253

2. Oudry 2006, p. 22

3. Routier 2006, p. 268

4. Censier 2013, p. 497

5. *idem*

6. De Groote 2008

7. Louis 2015, p. 76

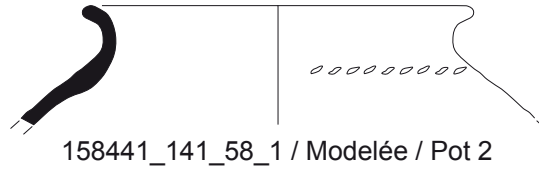
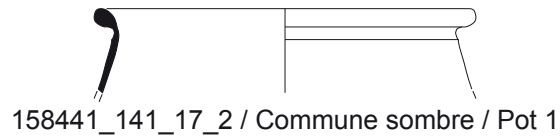
8. De Groote 2006, p. 250

9. Cercy et al. 2006, p. 4 ; Séverin, Lagoutte 2009, p. 143

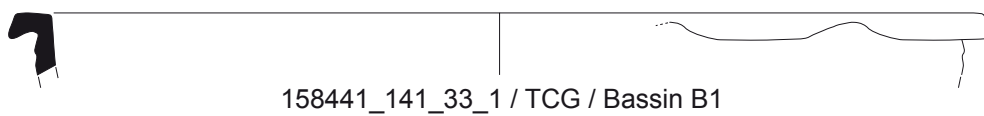
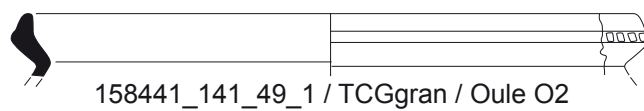
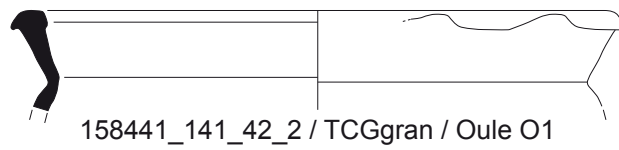
<b>Somme de NR tot</b>		
<b>TAQ</b>	<b>n°inv.</b>	<b>Total</b>
-300	158441_141_176_1	1
	158441_141_55_1	3
<b>Total -300</b>		<b>4</b>
99	158441_141_58_1	5
	158441_141_83_1	1
<b>Total 99</b>		<b>6</b>
199	158441_141_127_1	5
	158441_141_17_1	14
	158441_141_17_2	1
	158441_141_26_1	7
	158441_141_59_1	13
	158441_141_59_2	1
<b>Total 199</b>		<b>41</b>
1499	158441_141_197_1	1
<b>Total 1499</b>		<b>1</b>
1699	158441_141_103_1	4
	158441_141_82_1	1
<b>Total 1699</b>		<b>5</b>
1799	158441_141_54_1	1
<b>Total 1799</b>		<b>1</b>
GR	158441_141_119_1	1
	158441_141_243_1	4
	158441_141_84_1	1
<b>Total GR</b>		<b>6</b>
GR?	158441_141_150_1	2
	158441_141_174_1	21
<b>Total GR?</b>		<b>23</b>
proto?	158441_141_255_1	2
	158441_141_282_1	1
	158441_141_50_1	4
<b>Total proto?</b>		<b>7</b>
(vide)	158441_141_118_1	1
	158441_141_156_1	2
	158441_141_164_1	2
	158441_141_171_1	1
	158441_141_196_1	1
	158441_141_196_2	1
	158441_141_221_1	1
	158441_141_25_1	2
	158441_141_33_1	2
	158441_141_4_1	2
	158441_141_42_1	6
	158441_141_42_2	1
	158441_141_42_3	1
	158441_141_49_1	1
	(vide)	118
<b>Total (vide)</b>		<b>142</b>
<b>Total général</b>		<b>236</b>

**Tab.1** : tableau de comptage de la céramique.  
© Vaiana Vincent, - Inrap.

Gallo-romain



Médiéval



Moderne



158441\_141\_103\_1 /  
Grès cobalt / Panse

**Fig.23** : planche céramique diachronique du matériel découvert sur le diagnostic de Verlinghem.  
© Vaiana Vincent, - Inrap.

Les formes corroborent cette datation. Un pichet (PI1), à col bombé et lèvre fine à bout arrondi rappelle un individu découvert à Saint-Amand-les-Eaux de la seconde moitié du XII<sup>e</sup> siècle. De même, les deux oules O1, à lèvre épaissie légèrement arrondie et O2, à lèvre à inflexion peuvent toutes deux être associées à des individus du XII<sup>e</sup> siècle de la fouille de Cysoing. L'oule O2 trouve aussi une occurrence de la seconde moitié du XII<sup>e</sup> siècle dans un autre diagnostic à Comines. Le dernier élément (158441\_141\_33\_1) a été délicat à définir. Son diamètre imposant et sa lèvre festonnée ont permis une identification comme bassin. Toutefois un élément identique, découvert sur la fouille de Cysoing par la DAPCAD, a été interprété comme un couvre-feu, du fait de la présence de digitations sur le départ de cloche. Il n'y en a ici pas de traces. Un autre élément similaire mis au jour lors d'un diagnostic sur Lille est associé à une oule de la seconde moitié XII<sup>e</sup>-XIII<sup>e</sup> siècle.

Il est toujours très délicat de définir du mobilier céramique du XII<sup>e</sup> siècle. Les références sont très peu nombreuses, dues sans doute à un problème épistémologique. En effet, le XII<sup>e</sup> est compris entre deux spécialités, celles du haut et du Bas Moyen Âge et cette période charnière est souvent négligée par l'une ou l'autre discipline. C'est pour cela que le mobilier est rare mais aussi par conséquent les occupations du XII<sup>e</sup> siècle, ce qui fait tout l'intérêt du site de Verlinghem.

Une dernière phase a pu être identifiée, datant de l'époque moderne. Cinq structures sont concernées (st. 54, 82, 103, 156 et 196) à partir desquelles dix tessons ont été dénombrés. L'ensemble est faible mais certaines productions sont tout à fait typiques de la période. La terre cuite rouge à glaçure brune épaissie n'apparaît que dans la seconde moitié du XVII<sup>e</sup> siècle et son utilisation perdure durant tout le XVIII<sup>e</sup> siècle. De même la présence de grès décoré au bleu cobalt est un indice de postériorité à 1600. La pâte très blanche rappelle les productions du Westerwald. Une unique forme a été recensée : celle d'une lèvre de marmite en terre cuite rouge glaçurée. Cette dernière rappelle les formes du XVI<sup>e</sup> voire du XVII<sup>e</sup> siècle. Cette phase semble plus ponctuelle comparée aux autres.

#### Liste des abréviations

TCG : Terre cuite grise

TCGgran : Terre cuite grise granuleuse

TCGcalc : Terre cuite grise à dégraissant calcaire

TCR : Terre cuite rouge

TCRgran : Terre cuite rouge granuleuse

TCR-gl : Terre cuite rouge glaçurée

TCR-glbrune : Terre cuite rouge à glaçure brune

#### Catalogue de la figure 23

158441\_141\_17\_2 / Pot POT1 : Pot à panse rentrante, léger pincement de la pâte à la jonction avec la lèvre, lèvre arrondie et éversée. Commune sombre. Diamètre 15 cm.

158441\_141\_58\_1 / Pot POT2 : Pot à col concave et lèvre éversée. Céramique non tournée (ou modelée). Diamètre 15 cm.

158441\_141\_59\_2 / Cruche CR1 : Cruche à col concave et lèvre quadrangulaire marquée par une rainure interne. Commune claire. Diamètre indéterminé.

158441\_141\_49\_1 / Pichet PI1 : Pichet à col bombé et lèvre fine à bout arrondi. Terre cuite grise granuleuse. Diamètre indéterminé. Comparaison : Henton 2005, pl. 10 st. 69 n°69.6, seconde moitié 12<sup>e</sup>

158441\_141\_42\_2 / Oule O1 : Oule à col évasé et lèvre épaissie légèrement arrondie, étirée sur sa partie extérieure pour former des festons. Terre cuite grise granuleuse. Diamètre 23 cm. Comparaison : Censier 2013, p. 501 Fig.230 n° 1031-2-Sd.2-3, 12<sup>e</sup>

158441\_141\_49\_1 / Oule O2 : Oule à col évasé et lèvre à inflexion étirée et affinée, décor à la molette sur l'inflexion externe de la lèvre. Terre cuite grise granuleuse. Diamètre 24 cm. Comparaison : Censier 2013, p. 501 Fig.230 n° 1031-2-Sd.2-1, 12<sup>e</sup> ; Notte 2015, p. 46 Fig.49 n° 157711\_141\_129\_2, seconde moitié 12<sup>e</sup>

158441\_141\_33\_1 / Bassin B1 : Bassin à col bombé et lèvre repliée sur l'extérieur rythmée par une série de festons. Terre cuite grise. Diamètre 36 cm. Comparaison : Censier 2013, p. 499 Fig.229 n° 2609-5 (comme couvre-feu), 12<sup>e</sup> ; Cercy 2012, p. 49 Fig.30 n° 1013.3, seconde moitié 12<sup>e</sup>-13<sup>e</sup>

158441\_141\_196\_2 / Marmite M1 : Marmite à col légèrement évasé et lèvre à bout arrondi. Terre cuite rouge glaçurée. Diamètre indéterminé.

158441\_141\_103\_1 / Panse : Panse rythmé par de fines rainures. Grès cobalt.

## Bibliographie

### Censier 2013

CENSIER D. - *Nord-Pas-de-Calais / Nord (59). Cysoing, Clos de Abbaye. Volume 2. Période médiévale : rapport de fouille*. Douai : Communauté d'agglomération du Douaisis, Direction de l'archéologie préventive, 2013. 540 p.

### Cercy 2012

CERCY C. - *Nord-Pas-de-Calais, Lille, 181 rue de Paris : rapport de diagnostic*. Amiens : Inrap Nord-Picardie, 2012. 64 p.

### Cercy et al. 2006

CERCY C., MONTEMBAULT V., MOULHERAT C., GARDAIS C., MARCY T. - *Lille (59) « Rue des Tanneurs - Les Tanneurs 3 ». Volume III - contributions. chapitre 3 : le mobilier : rapport de fouille*. Amiens : Inrap Nord-Picardie, 2006. 102 p.

### De Groote 2006

DE GROOTE K. - L'évolution de la céramique dans la vallée de l'Escaut (Flandre) du IX<sup>e</sup> au XII<sup>e</sup> siècle. Interprétations culturelles, sociales et économiques. *In La céramique du Haut Moyen Âge dans le nord-ouest de l'Europe, V<sup>e</sup>-X<sup>e</sup> siècles : actes du colloque de Caen, 2004*. Condé-sur-Noireau : NEA, 2006, p. 249-264.

### De Groote 2008

GROOTE K. - *Middeleeuws aardewerk in Vlaanderen : techniek, typologie, chronologie en evolutie van het gebruiksgoed in de regio Oudenaarde in de volle en late middeleeuwen (10de - 16de eeuw). Deel I*. Brussel : Vlaams instituut voor het onroerend erfgoed, 2008. 479 p. (Relicta Monografieën ; 1).

### Henton 2005

HENTON A. - *Saint-Amand-Les-Eaux, «RD 169» : rapport de fouille*. Amiens : Inrap Nord-Picardie, 2005. 38 p.

### Louis 2015

LOUIS É. - Ateliers céramiques du Douaisis au Haut Moyen Âge (VI<sup>e</sup>-XII<sup>e</sup> siècles) : un bilan. *In Tourner autour du pot... Les ateliers de potiers médiévaux du V<sup>e</sup> au XII<sup>e</sup> siècle dans l'espace européen : actes du colloque international de Douai (5-8 octobre 2010)*. Caen : Presses Universitaires de Caen, 2015, p. 51-81.

### Notte 2015

NOTTE L. - *Comines, 14 rue du Château : rapport de diagnostic*. Amiens : Inrap Nord-Picardie, 2015. 63 p.

### Oudry 2006

OUDRY S. - *Lapugnoy (62), rue Verte : rapport de diagnostic*. Amiens : Inrap Nord-Picardie, 2006. 24 p.

### Routier 2006

ROUTIER J.-C. - Céramiques médiévales des X<sup>e</sup> et XI<sup>e</sup> siècles en Flandre et sur le littoral du Nord-Pas-de-Calais. *In La céramique du Haut Moyen Âge (V<sup>e</sup>-X<sup>e</sup> siècles) dans le Nord-Ouest de l'Europe*. Condé-sur-Noireau : Editions NEA, 2006, p. 249-264.

### Séverin, Lagoutte 2009

SÉVERIN C., LAGOUTTE A. - *Flers-en-Escrebieux « rue de l'église » : rapport de fouille*. Douai : Direction de l'Archéologie Préventive Communauté d'Agglomération du Douaisis, 2009. 217 p.

## 4. Étude anthropologique (S. Oudry-Brailon)

### 4.1 Rappel des caractéristiques de la structure

En surface, la structure se présente sous une forme quadrangulaire (1,50 m de longueur et 1,30 m de largeur) avec un comblement central beige et dans l'angle sud-ouest, une zone de charbons de bois et de fragments osseux. La structure ne semble pas être particulièrement arasée, même si une partie du comblement supérieur a vraisemblablement disparu. Un test a été réalisé dans l'angle de la structure (45 x 38 cm). Il confirme la présence de deux couches de comblement. Dans le fond de la fosse, on observe un niveau noirâtre de cendres et de charbons de bois, homogène et présentant des clous et des esquilles assez nombreuses. Cette couche recouvre le fond de la fosse et remonte le long de la paroi. La structure est comblée d'un limon sableux fin, compact et homogène, de couleur beige clair et renfermant quelques charbons de bois. Aucune trace de rubéfaction n'a été observée, ni sur les parois ni sur le fond. Aucun élément de datation n'a été mis au jour dans la structure.

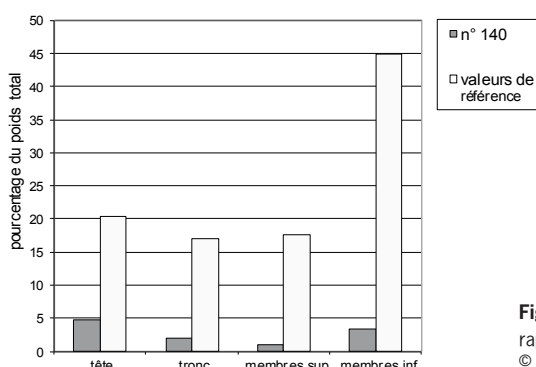
### 4.2 Les ossements humains

Les os humains proviennent tous de la couche n° 2 et sont dispersés dans le comblement. Le poids global du dépôt osseux est de 72,2 g (tab.2). Les restes appartiennent à un individu de morphologie adulte ; aucune portion d'os coxal n'a été mise au jour et la diagnose sexuelle de l'individu n'est donc pas réalisable. Aucun doublon d'os et aucune incompatibilité de robustesse ou de maturation n'ont été observés, le NMI de ce dépôt est donc de 1.

Les os présentent une couleur uniformément blanche ce qui témoigne d'une combustion complète et homogène. Il est ainsi possible de restituer une température d'au moins 750° C pendant au moins une heure et demie (Hummel et al. 1988 ; Depierre 2014 : 41, fig.7). Toutefois les modalités exactes de la crémation nous échappent car de nombreux paramètres peuvent modifier la qualité de la crémation : le type de combustible utilisé, les conditions atmosphériques et la corpulence du défunt par exemple.

Le poids global des restes osseux issus de ce test est faible et ne correspond pas au poids attendu après la crémation d'un individu adulte. Comme il s'agit que d'un échantillon, il ne nous est pas possible de restituer le poids total des os que pouvait contenir la structure. De la même manière, l'analyse des indices pondéraux (la part de chaque région anatomique) ne sera pas très pertinente. La fragmentation des os est relativement importante : le poids moyen des os indéterminés est de 0,39 g par fragment et celui des os identifiés est de 0,48 g par fragment. Pour comparaison, on considère que la fragmentation est moyenne lorsque les os identifiés sont autour de 2 g par fragment. En raison de cette fragmentation importante, la part des ossements indéterminés est très lourde (tab.3) et de ce fait, les indices pondéraux observés dans le dépôt de la st. 140 sont bien inférieurs à ceux attendus pour un adulte (fig.24).

Malgré le faible taux de détermination, nous avons noté la présence d'ossements appartenant à toutes les parties du corps et même des os de petite taille comme une phalange de pied ou de main.



**Fig.24** : indices pondéraux du dépôt osseux de la st. 140 par rapport aux valeurs de référence.  
© Sophie Oudry - Inrap.

Tombe / os		Total	nb fgts	poids moyen
n° 140				
crâne	3,5		9	
mandibule				
dents supérieures				
dents inférieures				
dents indéterminées				
os hyoïde				
osselets de l'oreille				
cartilage calcifié				
Total tête	3,5	3,5	9	0,39
atlas				
axis				
vertèbres (C3 à C7)	1,4		1	
vertèbres thoraciques				
vertèbres lombaires				
vertèbres indéterminées				
sacrum				
coccyx				
côtes				
sternum				
Total tronc	1,4	1,4	1	1,40
clavicule				
scapula				
humérus	0,7		1	
radius				
ulna				
carpe				
métacarpe				
phalanges des mains				
membres supérieurs indéterminés				
Total membres supérieurs	0,7	0,7	1	0,70
coxal				
fémur	2,5		2	
patella				
tibia				
fibula				
tarse				
métatarse				
phalanges des pieds				
sésamoïdes				
membres inférieurs indéterminés				
<b>Total membres inférieurs</b>	<b>2,5</b>	<b>2,5</b>	<b>2</b>	<b>1,25</b>
<b>Total fragments ou os déterminés</b>	<b>8,1</b>	<b>8,1</b>	<b>17</b>	<b>0,48</b>
<b>esquilles</b>	<b>37,8</b>			
<b>MTC, MTT, phalanges mains ou pieds</b>	<b>0,3</b>		<b>1</b>	
<b>ossements indéterminés</b>	<b>26,0</b>		<b>66</b>	
<b>Total fragments ou os indéterminés</b>	<b>64,1</b>	<b>64,1</b>	<b>67</b>	<b>0,39</b>
<b>Poids total</b>	<b>72,2</b>	<b>72,2</b>		

**Tab.2** : composition anatomique du dépôt osseux de la st. 140.

© Sophie Oudry - Inrap.

	n° 140	valeurs de référence
tête	4,8	20,4
tronc	1,9	17,0
membres sup.	1,0	17,6
membres inf.	3,5	45,0
ossements indéterminés	88,8	
<b>total</b>	<b>100</b>	
<b>taux de détermination</b>	<b>11,2</b>	

**Tab.3** : indices pondéraux du dépôt osseux de la st. 140.

© Sophie Oudry - Inrap.

### 4.3 Interprétation de la structure

L'interprétation d'une structure de ce type est délicate. Malgré la présence de charbons de bois et de clous associés aux os humains, l'absence de rubéfaction et de nodules de terre cuite tendrait à indiquer qu'il ne s'agit pas d'un bûcher. Il est plus vraisemblable qu'il s'agit là d'une fosse ayant accueilli les restes d'un bûcher après son curage, ce qui pourrait expliquer la présence de petits éléments osseux. Il pourrait aussi s'agir d'une sépulture, mais pour démontrer cela, la présence d'objets en position secondaire est nécessaire, comme le dépôt d'une céramique non brûlée. La structure n'ayant pas été fouillée en totalité, cette éventualité n'est pas à écarter.

Que ce soit dans le cas d'une fosse de rejet de bûcher ou dans le cas d'une sépulture, les ossements n'ont pas fait l'objet d'un tri et au contraire ont été déposés dans la structure après leur collecte avec les charbons et les clous.

Les périodes protohistorique et antique sont les deux périodes principales où la crémation était majoritaire dans la région. La st. 140 est donc plus probablement à rattacher au Second âge du Fer ou au Haut-Empire et peut être rapprochée des petits ensembles funéraires observés dans le secteur pour ces régions, comme à Marquette en 2006 où deux sépultures à incinération datées du 2<sup>e</sup> siècle après J.-C. ont été découvertes (Rappasse 2006) ou à Lomme « Le Grand But » où ce sont deux bûchers gallo-romains qui ont été mis au jour en 2010 (Praud et al. 2010). Il est courant que ce type de structure funéraire soit mieux identifié en fouille et c'est le cas à Marquette, sur la ZAC du Haut-Touquet où 17 tombes-bûcher ont été fouillées en 2008 (Denimal 2010). Un tel ensemble est plutôt rare dans la région car ce sont généralement des structures très isolées qui sont mises au jour, comme un peu plus au nord à Comines, sur la fouille de la ZA Maurice Schuman qui a totalisé 7 ha mais qui n'a livré que trois bûchers gallo-romains et quelques fosses de stockage avec des restes humains brûlés datés de la transition entre le Hallstatt final et La Tène ancienne (Blondeau & Renard 2008).

### 4.4 Bibliographie

#### Blondeau & Renard 2008

BLONDEAU R., RENARD S., « Comines, ZA Maurice Schuman », *Bilan Scientifique de la région Nord-Pas-de-Calais*, Villeneuve d'Ascq : Ministère de la Culture et de la Communication, p. 42-44.

#### Denimal 2010

DENIMAL C. - *Marquette-lez-Lille (59), Complexe sportif du Haut Touquet (tr. 3). Rapport de fouille*, Linselles : Archéopole, 271 p.

#### Depierre 2014

DEPIERRE G. - *Crémation et archéologie, nouvelles alternatives méthodologiques en ostéologie humaine*, Dijon : Editions Universitaires de Dijon, 654 p.

#### Hummel et al. 1988

HUMMEL S., SCHUTKOWSKI H., HERRMANN B. - « Advances in cremation research », in Buchet (L.), *Anthropologie et histoire ou anthropologie historique ? : actes des 3<sup>e</sup> Journées anthropologiques de Valbonne, 28-30 mai 1986*, Paris : Ed. du CNRS, coll. « Notes et monographies techniques », 24, p. 177-194.

#### Praud et al. 2010

PRAUD I., PAQUES G., BARDEL D., CANONNE M., OUDRY S. - *Lomme (59) Le Grand But. Rapport de diagnostic archéologique*, Amiens : Inrap Nord-Picardie, 52 p.

#### Rappasse 2006

RAPPASSE J. - « Marquette-lez-Lille, ZAC de la Becquerelle », *Bilan Scientifique de la région Nord-Pas-de-Calais*, Villeneuve d'Ascq : Ministère de la Culture et de la Communication, p. 116.

## 5. Géologie quaternaire (L. Deschodt)

### 5.1 Contexte

La zone sondée se situe sur un long versant en pente très douce du pays de Weppes, vers 25 m d'altitude (fig.25). Le versant rejoint le cours de la Deûle environ 3 km plus à l'est (pente de moins de 0,2%). Nous savons que cette topographie de versant très peu marquée masque un changement du cours de la Deûle et une topographie ante-quaternaire plus vigoureuse avec un axe d'incision maximum de la paléo-Deûle antérieure au dernier Glaciaire vers la cote zéro (Ladrière 1886, Sommé 1977, Deschodt 2012). D'ailleurs, un forage contigu à l'emprise enregistré à la banque du sous-sol du BRGM indique une épaisseur de 18,3 m pour l'ensemble du Quaternaire (sondage 00142D0146/F1). L'opération est l'occasion d'observer la partie supérieure du comblement quaternaire.



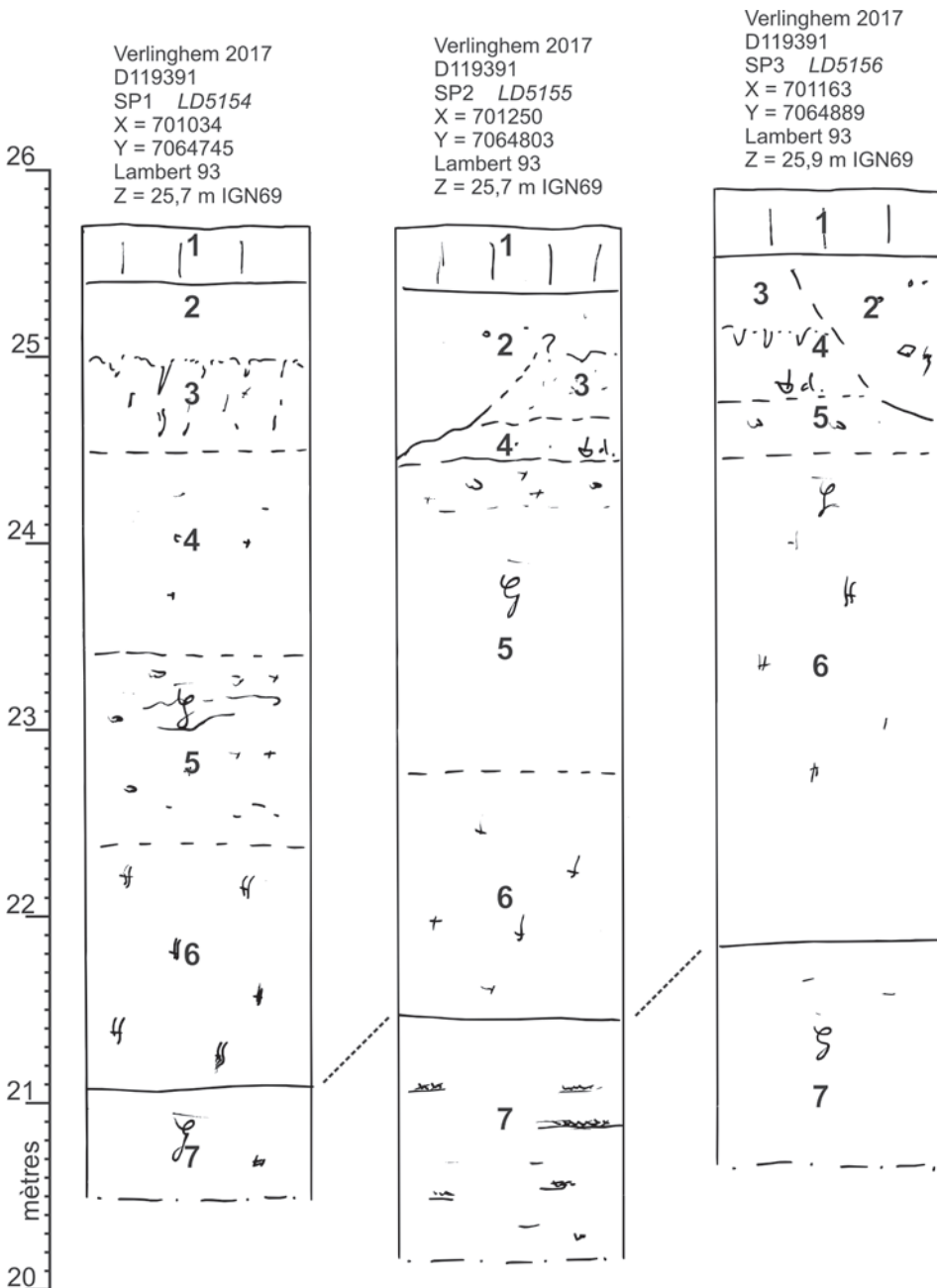
**Fig.25** : localisation de l'emprise dans la vallée de la Deûle. source MNT : PPIGE NPDC - MNT GRID 2012 -2013. © Laurent Deschodt - Inrap.

## 5.2 Observations

Trois sondages profonds en puits ont été réalisés (fig.26 et 27). Ils ont rencontré les terrains suivants.



**Fig.26** : localisation des sondages profonds en puits sur un extrait de la carte IGN 1/25000.  
© Laurent Deschodt - Inrap.



**Fig.27** : détail des sondages profonds en puits, description dans le texte.  
© Laurent Deschodt - Inrap.



**Fig.28** : SP1, partie supérieure.  
© Laurent Deschodt - Inrap.

### SP1

figs.27 à 30

1 – labour

2 – limon fin clair, ocre, très sec, légèrement structuré, quelques points de manganèse

3 – limon ocre compact, à taches rouilles abondantes, glosses, points de manganèse parfois très gros, en concrétions

4 – limon gris, taches rouille

5 – limon rouge oxydé et réduit (bleuté), présence de poupées

6 – limon ocre clair, quelques traces de racines (oxydes)

7 – loess homogène, gris bleuté, pseudomycélium, quelques traces d'oxydes (racines)



**Fig.29** : SP1, pseudomycélium (carbonatations secondaires).  
© Laurent Deschodt - Inrap.



**Fig.30** : SP1, limon gleyifié homogène en fond de sondage vu dans le godet de la pelle.  
© Laurent Deschodt - Inrap.



**Fig.31** : SP2, unité 5 vers 2,3 m de profondeur.  
© Laurent Deschodt - Inrap.

## SP2

figs. 27 et 31 à 35

- 1 – labour
- 2 – limon brun gris, quelques éléments anthropiques (petits fragments de terre cuite) ; remplissage d'un fossé probable, limite indistincte vers le haut
- 3 – limon brun ocre, manganèse
- 4 – limon à taches grises et rouille, id. 5 mais décarbonaté
- 5 – limon plus clair que 4 (limite de décarbonatation), présence de poupees de loess, passages à dominants rouilles ou grise
- 6 – id. dominante rouille
- 7 – loess avec très discrètes lamines très fines, gleyifié, gris bleuté, présence débris végétaux dans les lits (un prélèvement à 4,6 m de profondeur)



**Fig.32** : SP2, limon gris homogène en fond de sondage (unité 7).  
© Laurent Deschodt - Inrap.



**Fig.33** : SP2, discrètes lamines dans l'unité 7.  
© Laurent Deschodt - Inrap.



**Fig.34** : SP2, discrètes lamines dans l'unité 7.  
© Laurent Deschodt - Inrap.



**Fig.35** : SP2, présence de débris végétaux en lits dans l'unité 7, prélevé.  
© Laurent Deschodt - Inrap.

## SP3

figs. 27, 36 et 37

1 – labour

2 – limon brun avec éléments anthropiques divers (fragment de craie, de brique), remplissage d'une structure, fossé probable

3 – limon brun ocre, manganèse

4 – limon gris et rouille

5 – limon plus clair que 4 (limite de décarbonatation), présence de poupées de loess

6 – limon gris en tête, plus passages un peu plus rouille

7 – loess homogène gris

## 5.3 Interprétation et commentaires

Seule la partie supérieure d'un épais colmatage quaternaire a été observée. Les cinq mètres supérieurs sont attribuables à la couverture loessique de la fin du Weichselien. L'élément notable à retenir de l'investigation est la présence à partir d'environ 21-21,5 mètres d'altitude (environ 5 mètres de profondeur) d'un loess finement lité avec conservation de matière organique en lits.



Fig.36 : SP3, partie supérieure.  
© Laurent Deschodt - Inrap.



Fig.37 : SP3, détail de la carbonatation secondaire.  
© Laurent Deschodt - Inrap.

## Bibliographie

## Deschodt 2012

DESCHODT L. - Sédimentologie et datation des dépôts fluvio-éoliens du Pléniglaciaire weichselien à Lille (Vallée de la Deûle, bassin de l'Escaut, France), *Quaternaire*, 23 (1), 117-127.

## Ladrière 1886

LADRIERE J. - Le Terrain quaternaire de la vallée de la Deûle, à Lille, comparé à celui du Nord de la France, *Annales de la Société Géologique de Belgique*, 13, 266-287.

## Somme 1977

SOMME J. - *Les plaines du Nord de la France et leur bordure. Etude géomorphologique*, Thèse d'Etat, 2 tomes, 810 p.

## 6. Synthèse

Le diagnostic réalisé à Verlinghem a permis de reconnaître un nombre important de structures, dont essentiellement des fossés. L'étude céramologique a permis de déterminer quatre phases d'occupation sur le site.

L'occupation la plus ancienne date de la protohistoire au sens large et est matérialisée par des fossés et une ou deux fosses isolées. Il n'a pas été possible de restituer des enclos ou un parcellaire, les vestiges étant trop lacunaires pour cela.

La période romaine voit une occupation des I-II<sup>e</sup> siècles de notre ère. Malgré un faible corpus céramique, le corpus de fossés et de fosses, notamment une fosse de rejet de bûcher, a permis d'identifier la proximité d'un site antique sans pouvoir le définir précisément.

La période médiévale est également représentée sur le site par l'intermédiaire de fossés et deux (?) fosses ayant livré du mobilier céramique. Ce dernier est peu fréquemment rencontré dans la région. Les vestiges mis au jour sur le site de Verlinghem qui sont datés de cette de cette période montrent une ébauche d'organisation sans qu'il ne soit possible de la préciser davantage. Ils relèvent probablement de la proximité d'un site du XII<sup>e</sup> non loin.

Enfin, la période moderne est caractérisée par l'établissement d'un réseau de fossés très denses et très réguliers, occupant une large moitié nord de la parcelle. Il reste difficile de déterminer s'il correspond à une pratique liée au drainage ou une pratique agricole ou maraîchère locale.

## 7. Bibliographie générale

**Delmaire 1996 :**

DELMAIRE R. - *Le Nord (carte archéologique de la Gaule)*, académie des inscriptions et des belles lettres, Paris, 1996.

**Desoutter 2012a :**

DESOUTTER S. - *Verlinghem, rue de la Fontaine*, RFO de diagnostic, SRA Nord-Pas-de-Calais, 24 p., 2012.

**Desoutter 2012b :**

DESOUTTER S. - *Verlinghem, allée de Tournebride - rue de la Fontaine*, RFO de diagnostic, SRA Nord-Pas-de-Calais, 24 p., 2012.

**Desoutter 2016 :**

DESOUTTER S. - *Loon-Plage, Les Jardins de la Faisanderie*, RFO de fouille, SRA Nord-Pas-de-Calais, 2 volumes, 608 p., 2016.

**Rappasse 2011 :**

RAPPASSE J. - *Verlinghem, Rue de Lambersart*, RFO de diagnostic, SRA Nord-Pas-de-Calais, 30 p., 2011.

**Thoquenne 2006 :**

THOQUENNE V. - *Verlinghem, ZAC de l'Orée du Bois*, RFO de diagnostic, 2006.



# **III. Inventaires techniques**

## Inventaire des unités stratigraphiques et des structures archéologiques

Code Patriarche	Parcelle	N°TR	N°ST	dimensions		identification	description surface (forme et comblement)	% fouillé	niv d'app	chronologie
				long (m)	larg (m)					
158441	C.145	1	1	0,5		fossé	limon sableux brun à jaune, traces de charbon de bois, oxydes ferro-manganiques		0,65	
158441	C.145	1	2	ind.		tranchée	comblement hétérogène, cailloux, béton, racines, etc.			XXI
158441	C.145	1	3	0,8		fosse	limon sableux brun à jaune, traces de charbon de bois, oxydes ferro-manganiques		0,6	
158441	C.145	1	4			fossé	limon sableux brun à jaune, traces de charbon de bois, oxydes ferro-manganiques		0,5	
158441	C.145	1	5			fossé	limon sablo-argileux brun clair, traces de charbon de bois		0,5	
158441	C.145	1	6			fossé	limon sablo-argileux brun clair, traces de charbon de bois		0,5	
158441	C.145	1	7			fossé	limon sablo-argileux brun clair, traces de charbon de bois		0,5	
158441	C.145	1	8	0,5		fosse ?	limon sablo-argileux brun clair, traces de charbon de bois et oxydes ferro-manganiques		0,5	
158441	C.145	1	9			fossé	limon sablo-argileux brun clair, traces de charbon de bois et oxydes ferro-manganiques		0,5	
158441	C.145	1	10			fossé	limon sablo-argileux brun clair, traces de charbon de bois et oxydes ferro-manganiques		0,5	
158441	C.145	2	11			fossé	limon sablo-argileux brun clair, traces de charbon de bois et oxydes ferro-manganiques		0,5	
158441	C.145	2	12	0,8	0,6	fosse ?	limon sablo-argileux brun clair, traces de charbon de bois et oxydes ferro-manganiques		0,5	
158441	C.145	2	13	2		fossé	limon sablo-argileux brun clair, traces de charbon de bois et oxydes ferro-manganiques		0,5	
158441	C.145	2	14	0,6		fossé	limon sablo-argileux brun clair, traces de charbon de bois et oxydes ferro-manganiques		0,6	
158441	C.145	2	15	0,6		fossé	limon sablo-argileux brun clair, traces de charbon de bois et oxydes ferro-manganiques		0,6	
158441	C.145	2	16	0,6		fossé	limon sablo-argileux brun clair, traces de charbon de bois et oxydes ferro-manganiques		0,6	
158441	C.145	2	17			dépression ?	limon sablo-argileux, nombreux nodules de TCA et de charbons de bois		0,6 à 0,7	GR
158441	C.145	3	18	0,9	0,6	fosse	limon argilo-sableux, nombreux nodules de charbons de bois, nodules cendreaux, et TCA, oxydes ferro-manganiques		0,7	
158441	C.145	3	19	0,8		fosse	limon argilo-sableux, nombreux nodules de charbons de bois, nodules cendreaux, et TCA, oxydes ferro-manganiques		0,7	
158441	C.145	3	20	maximum 2		fosse?	limon argilo-sableux, nombreux nodules de charbons de bois et TCA, oxydes ferro-manganiques		0,75	
158441	C.145	3	21	0,5		fossé	limon argilo-sableux, rares traces de charbons de bois et TCA, traces d'oxydes ferro-manganiques	sondage manuel	0,7	
158441	C.145	3	22	au moins 0,5		fossé	limon argilo-sableux, rares traces de charbons de bois et TCA, traces d'oxydes ferro-manganiques		0,7	
158441	C.145	3	23			fosse	limon argilo-sableux brun clair, nodules de terre cuite, charbons de bois en faible quantité, oxydes ferro-manganiques	sondage manuel	0,7	
158441	C.145	3	24	0,5 à 1,2		fossé?	limon argilo-sableux brun clair, nodules de terre cuite, charbons de bois en faible quantité, oxydes ferro-manganiques		0,7	
158441	C.145	3	25	0,78		fosse	limon argilo-sableux brun clair, nodules de terre cuite, charbons de bois en faible quantité, oxydes ferro-manganiques	50%	0,7	
158441	C.145	3	26			fossé	limon brun argilo-sableux		0,7	
158441	C.145	3	27	0,5		fossé	limon brun argilo-sableux		0,7	
158441	C.145	3	28	0,5		fossé	limon brun argilo-sableux		0,7	
158441	C.145	3	29	0,5		fossé	limon brun argilo-sableux		0,7	
158441	C.145	3	30	0,5		fossé	limon brun argilo-sableux		0,7	
158441	C.145	3	31	ind.		fossé	limon brun argilo-sableux		0,7	
158441	C.145	3	32	2,5 1		fosse	limon argilo-sableux, oxydes ferro-manganiques, rares traces de charbon de bois		0,7	
158441	C.145	4	33	1,2		fossé	limon argilo-sableux brun clair, traces d'oxydes ferro-manganiques et traces blanchâtres hydromorphes	sondage PM	0,9	
158441	C.145	4	34	2,1		fossé	limon argilo-sableux brun clair, traces d'oxydes ferro-manganiques et traces blanchâtres hydromorphes	sondage PM	0,9	
158441	C.145	4	35	0,5		fossé	limon argilo-sableux brun clair, traces d'oxydes ferro-manganiques et traces de charbon de bois	sondage PM	0,8	
158441	C.145	4	36	0,5		fossé	limon argilo-sableux brun clair, traces d'oxydes ferro-manganiques et traces de charbon de bois		0,8	

## Inventaire des unités stratigraphiques et des structures archéologiques

Code Patriarche	Parcelle	N°TR	N°ST	dimensions		identification	description surface (forme et comblement)	% fouillé	niv d'app	chronologie
				long (m)	larg (m)					
158441	C.145	4	37	0,7		fossé	limon argilo-sableux brun clair, traces d'oxydes ferro-manganiques et traces de charbon de bois		0,75	
158441	C.145	4	38	3,1		fossé	limon argilo-sableux brun clair, traces d'oxydes ferro-manganiques et traces de charbon de bois		0,75	
158441	C.145	4	39	ind.		fossé	limon argilo-sableux brun clair, traces d'oxydes ferro-manganiques et traces de charbon de bois		0,75	
158441	C.145	4	40	0,95		fossé	limon argilo-sableux brun clair, traces d'oxydes ferro-manganiques et traces de charbon de bois		0,75	
158441	C.145	4	41	0,95		fossé	limon argilo-sableux brun, traces d'oxydes ferro-manganiques, traces de charbon de bois et hydromorphes (blanchâtres)		0,85	
158441	C.145	4	42	ind.		fossé	limon argilo-sableux brun-gris, présence d'une poche charbonneuse, traces d'oxydes ferro-manganiques, traces de charbon de bois et hydromorphes (blanchâtres)		0,85	
158441	C.145	4	43	0,3		fossé	limon argilo-sableux brun-gris, présence d'une poche charbonneuse, traces d'oxydes ferro-manganiques, traces de charbon de bois et hydromorphes (blanchâtres)		0,8	
158441	C.145	4	44	0,5		fossé	limon argilo-sableux brun-gris, présence d'une poche charbonneuse, traces d'oxydes ferro-manganiques, traces de charbon de bois et hydromorphes (blanchâtres)		0,8	
158441	C.145	6	45	0,7		fossé	limon argilo-sableux brun clair, quelques traces de charbon de bois et oxydes ferro-manganiques		0,6	
158441	C.145	6	46	2,7		fossé	limon argilo-sableux brun foncé, quelques traces de charbon de bois et oxydes ferro-manganiques		0,7	
158441	C.145	6	47	0,9		fossé	limon argilo-sableux brun clair, quelques traces de charbon de bois et oxydes ferro-manganiques		0,75	
158441	C.145	7	48	0,6		fossé	limon argilo-sableux brun clair à jaunâtre, traces d'oxydes ferro-manganiques et traces de charbon de bois		0,6	
158441	C.145	7	49	1,9		fossé	limon argilo-sableux brun, poches de limon plus foncé, traces de charbon de bois et de terre cuite		0,85	
158441	C.145	7	50	0,7		fossé ?	limon argilo-sableux grisâtre, oxydes ferro-manganiques		0,85	
158441	C.145	7	51	0,5		fossé	limon plutôt argileux grisâtre, oxydes ferro-manganiques		0,8	
158441	C.145	8	52			fossé				
158441	C.145	8	53			fossé				
158441	C.145	9	54	6		fossé	limon argilo-sableux brun, oxydes ferro-manganiques, traces blanchâtres hydromorphes		1	
158441	C.145	9	55			fossé	limon argilo-sableux brun, présence poche charbonneuse, TCA, oxydes ferro-manganiques, traces blanchâtres hydromorphes		1	
158441	C.145	9	56	0,5		fossé	limon argilo-sableux brun, oxydes ferro-manganiques		0,85	
158441	C.145	9	57	0,15		fossé	limon argilo-sableux, brun grisâtre, traces de charbon de bois et d'oxydes ferro-manganiques	sondage PM	0,9	
158441	C.145	9	58	0,4		fosse	limon argilo-sableux blanchâtre à gris clair, oxydes ferro-manganiques	50%	0,9	
158441	C.145	9	59	0,6		fossé	limon argilo-sableux blanchâtre à gris clair, oxydes ferro-manganiques	sondage PM	0,9	
158441	C.145	9	60	0,4 à 0,8		fossé	limon argilo-sableux blanchâtre à gris clair, oxydes ferro-manganiques		0,85	
158441	C.145	9	61			fossé ?	limon loessique très fin jaunâtre, traces de calcaire		0,9	
158441	C.145	9	62	2		fossé	limon argilo-sableux brun, oxydes ferro-manganiques et traces blanchâtres (hydromorphes)		1	
158441	C.145	9	63	2,5		fossé	limon plutôt sableux brun clair, petits nodules calcaires, traces d'oxydes ferro-manganiques		0,8	
158441	C.145	9	64			fossé	limon argilo-sableux brun, traces d'oxydes ferro-manganiques, traces de charbon de bois		0,8	
158441	C.145	10	65	1,5		fossé	limon argilo-sableux brun, traces d'oxydes ferro-manganiques, traces de charbon de bois		1,2	
158441	C.145	10	66	0,5		fossé	limon brun-gris argilo-sableux, traces d'oxydes ferro-manganiques		0,9-1	
158441	C.145	11	67			fossé	limon brun argilo-sableux, traces d'oxydes ferro-manganiques et de charbon de bois		1,1	
158441	C.145	11	68	1,2		fossé	limon argilo-sableux brun clair à jaunâtre, traces d'oxydes ferro-manganiques		0,7	
158441	C.145	11	69	0,5		fossé-drain?	limon argilo-sableux jaunâtre		0,7	
158441	C.145	11	70	0,8		fossé	limon jaune à gris, oxydes ferro-manganiques		0,8	
158441	C.145	11	71	0,4		fossé	limon argilo-sableux jaunâtre		0,8	
158441	C.145	11	72	1,2		fossé	limon argileux gris et rouille, nombreux oxydes ferro-manganiques		0,8	
158441	C.145	11	73	2,2		fossé	limon argilo-sableux, brun jaune, quelques traces ferro-manganiques		0,8	

## Inventaire des unités stratigraphiques et des structures archéologiques

Code Patriarche	Parcelle	N°TR	N°ST	dimensions		identification	description surface (forme et comblement)	% fouillé	niv d'app	chronologie
				long (m)	larg (m)					
158441	C 145	11	74		0,5	fossé	limon sablo-argileux jaunâtre homogène		0,7	
158441	C 145	11	75		0,5	fossé	limon sablo-argileux jaunâtre homogène		0,7	
158441	C 145	11	76		0,5	fossé	limon sablo-argileux jaunâtre homogène		0,7	
158441	C 145	11	77		0,5	fossé	limon sablo-argileux jaunâtre homogène		0,7	
158441	C 145	11	78		0,5	fossé	limon sablo-argileux jaunâtre homogène		0,6	
158441	C 145	11	79		0,5	fossé	limon sablo-argileux jaunâtre homogène		0,6	
158441	C 145	11	80		0,5	fossé	limon sablo-argileux jaunâtre homogène		0,6	
158441	C 145	11	81		0,5	fossé	limon sablo-argileux jaunâtre homogène		0,5	
158441	C 145	12	82		6 ou +	fossé	limon brun argilo-sableux, traces d'oxydes ferro-manganiques et de charbon de bois		1	
158441	C 145	12	83		0,3	fossé	limon argileux grisâtre à jaune		1	
158441	C 145	12	84		1,2	fossé	limon argilo-sableux brun clair à jaunâtre, traces d'oxydes ferro-manganiques		0,7	
158441	C 145	12	85		0,5	fossé	limon argilo-sableux jaunâtre		0,7	
158441	C 145	12	86		0,45	fossé	limon argilo-sableux brun clair, traces d'oxydes ferro-manganiques		0,7	
158441	C 145	12	87		0,6	fossé	limon sableux brun jaune, traces d'oxydes ferro-manganiques, rares nodules calcaire		0,7	
158441	C 145	12	88		0,7	fossé	limon sableux brun jaune, traces d'oxydes ferro-manganiques, rares nodules calcaire		0,8	
158441	C 145	12	89		0,7	fossé	limon argileux gris et rouillé, nombreux oxydes ferro-manganiques		0,9	
158441	C 145	12	90		2	fossé	limon sableux brun jaune, traces d'oxydes ferro-manganiques, rares nodules calcaire		0,7	
158441	C 145	12	91		2,2	fossé	limon sableux brun jaune, traces d'oxydes ferro-manganiques, rares nodules calcaire		0,7	
158441	C 145	12	92		0,5	fossé	limon sableux brun jaune, traces d'oxydes ferro-manganiques, rares nodules calcaire		0,6-0,7	
158441	C 145	12	93		0,5	fossé	limon sableux brun jaune, traces d'oxydes ferro-manganiques, rares nodules calcaire		0,6-0,7	
158441	C 145	12	94		0,5	fossé	limon sableux brun jaune, traces d'oxydes ferro-manganiques, rares nodules calcaire		0,6-0,7	
158441	C 145	12	95		0,5	fossé	limon sableux brun jaune, traces d'oxydes ferro-manganiques, rares nodules calcaire		0,6-0,7	
158441	C 145	12	96		0,5	fossé	limon sableux brun jaune, traces d'oxydes ferro-manganiques, rares nodules calcaire		0,6-0,7	
158441	C 145	12	97		0,5	fossé	limon sableux brun jaune, traces d'oxydes ferro-manganiques, rares nodules calcaire		0,6-0,7	
158441	C 145	12	98		0,5	fossé	limon sableux brun jaune, traces d'oxydes ferro-manganiques, rares nodules calcaire		0,6-0,7	
158441	C 145	12	99		0,5	fossé	limon sableux brun jaune, traces d'oxydes ferro-manganiques, rares nodules calcaire		0,6-0,7	
158441	C 145	12	100		0,5	fossé	limon sableux brun jaune, traces d'oxydes ferro-manganiques, rares nodules calcaire		0,6-0,7	
158441	C 145	12	101		0,5	fossé	limon sableux brun jaune, traces d'oxydes ferro-manganiques, rares nodules calcaire		0,6-0,7	
158441	C 145	12	102		0,5	fossé	limon sableux brun jaune, traces d'oxydes ferro-manganiques, rares nodules calcaire		0,6-0,7	
158441	C 145	13	103			fossé ? dépression?	limon brun argilo-sableux, traces d'oxydes ferro-manganiques et de charbon de bois		0,7	
158441	C 145	13	104		0,5	fossé	limon argilo-sableux brun à jaune, rares oxydes ferro-manganiques		0,6	
158441	C 145	13	105		0,3	fossé	limon argilo-sableux brun à jaune, rares oxydes ferro-manganiques		0,5	
158441	C 145	13	106			impact	terrain remué, nodules calcaires, fragments de métal, etc		0,5	1914-1918
158441	C 145	13	107		0,9	fossé	limon argilo-sableux brun à jaune, rares oxydes ferro-manganiques		0,6	
158441	C 145	13	108		3,3	fossé	limon argilo-sableux brun à jaune, rares oxydes ferro-manganiques		0,7	
158441	C 145	13	109		2	fossé	limon argilo-sableux brun à jaune, rares oxydes ferro-manganiques		0,7	
158441	C 145	13	110		1,9	fossé	limon argilo-sableux brun à jaune, rares oxydes ferro-manganiques		0,7	
158441	C 145	13	111		0,5	fossé	limon argileux grisâtre, oxydes ferro-manganiques		0,7	
158441	C 145	13	112		0,5	fossé	limon argilo-sableux brun à jaune, rares oxydes ferro-manganiques		0,7	
158441	C 145	13	113		0,5	fossé	limon argilo-sableux brun à jaune, rares oxydes ferro-manganiques		0,6	
158441	C 145	13	114		0,5	fossé	limon argilo-sableux brun à jaune, rares oxydes ferro-manganiques		0,6	

## Inventaire des unités stratigraphiques et des structures archéologiques

Code Patriarche	Parcelle	N°TR	N°ST	dimensions		identification	description surface (forme et comblement)	% fouillé	niv d'app	chronologie
				long (m)	larg (m)					
158441	C 145	13	115	0,5		fossé	limon argilo-sableux brun à jaune, rares oxydes ferro-manganiques		0,6	
158441	C 145	13	116	0,5		fossé	limon argilo-sableux brun à jaune, rares oxydes ferro-manganiques		0,6	
158441	C 145	13	117	0,5		fossé	limon argilo-sableux brun à jaune, rares oxydes ferro-manganiques		0,6	
158441	C 145	13	118	0,5		fossé	limon argilo-sableux brun à jaune, rares oxydes ferro-manganiques		0,6	
158441	C 145	13	119	0,5		fossé	limon argilo-sableux brun à jaune, rares oxydes ferro-manganiques		0,6	
158441	C 145	13	120	0,8		fossé	limon argilo-sableux brun jaune, rares oxydes ferro-manganiques, très rares charbon de bois		0,5	
158441	C 145	13	121	0,8		fossé	limon argilo-sableux brun jaune, rares oxydes ferro-manganiques, très rares charbon de bois		0,5	
158441	C 145	13	122	0,5		fossé	limon argilo-sableux brun jaune, rares oxydes ferro-manganiques, très rares charbon de bois		0,5	
158441	C 145	13	123	0,5		fossé	limon argilo-sableux brun jaune, rares oxydes ferro-manganiques, très rares charbon de bois		0,5	
158441	C 145	13	124	0,6		fosse ?	limon argilo-sableux brun jaune, rares oxydes ferro-manganiques, très rares charbon de bois		0,5	
158441	C 145	13	125	0,6		fossé	limon argilo-sableux brun jaune, rares oxydes ferro-manganiques, très rares charbon de bois		0,5	
158441	C 145	13	126	1,5		fossé	limon argilo-sableux brun jaune, rares oxydes ferro-manganiques, très rares charbon de bois		0,5-0,6	
158441	C 145	13	127	0,6		fossé	limon argilo-sableux brun jaune, rares oxydes ferro-manganiques, très rares charbon de bois		0,5-0,6	
158441	C 145	13	128	0,5 à 0,7		fossé	limon argilo-sableux brun jaune, rares oxydes ferro-manganiques, très rares charbon de bois		0,5-0,6	
158441	C 145	13	129	0,5 à 0,7		fossé	limon argilo-sableux brun jaune, rares oxydes ferro-manganiques, très rares charbon de bois		0,5-0,6	
158441	C 145	13	130	0,5 à 0,7		fossé	limon argilo-sableux brun jaune, rares oxydes ferro-manganiques, très rares charbon de bois		0,5-0,6	
158441	C 145	13	131	0,5 à 0,7		fossé	limon argilo-sableux brun jaune, rares oxydes ferro-manganiques, très rares charbon de bois		0,5-0,6	
158441	C 145	13	132	0,5 à 0,7		fossé	limon argilo-sableux brun jaune, rares oxydes ferro-manganiques, très rares charbon de bois		0,5-0,6	
158441	C 145	13	133	0,5 à 0,7		fossé	limon argilo-sableux brun jaune, rares oxydes ferro-manganiques, très rares charbon de bois		0,5-0,6	
158441	C 145	13	134	0,5 à 0,7		fossé	limon argilo-sableux brun jaune, rares oxydes ferro-manganiques, très rares charbon de bois		0,5-0,6	
158441	C 145	13	135	0,5 à 0,7		fossé	limon argilo-sableux brun jaune, rares oxydes ferro-manganiques, très rares charbon de bois		0,5-0,6	
158441	C 145	13	136	0,5 à 0,7		fossé	limon argilo-sableux brun jaune, rares oxydes ferro-manganiques, très rares charbon de bois		0,5-0,6	
158441	C 145	14	137	18		dépression ?	limon brun argilo-sableux, traces d'oxydes ferro-manganiques et de charbon de bois		0,7-0,8	
158441	C 145	14	138	0,7		fossé	limon argilo-sableux gris blanchâtre, nombreuses inclusions d'oxydes ferro-manganiques		0,65	
158441	C 145	14	139	0,6		fossé	limon argilo-sableux brun jaune, rares oxydes ferro-manganiques, très rares charbon de bois		0,6	
158441	C 145	14	140	1,5	1,2-1,3	fosse/rejet de bûcher?	limon sableux beige clair à blanchâtre, esquilles, clous	25%	0,5	
158441	C 145	14	141	0,5		fossé	limon argilo-sableux brun, très rares inclusions de charbons de bois et d'oxydes ferro-manganiques		0,5	
158441	C 145	14	142	0,6		fossé	limon argilo-sableux brun, très rares inclusions de charbons de bois et d'oxydes ferro-manganiques		0,6-0,7	
158441	C 145	14	143	4		fossé	limon argilo-sableux brun, oxydes ferro-manganiques, charbon de bois, briques		0,6-0,7	XX-XXI
158441	C 145	14	144	2,9		fossé	limon argilo-sableux brun, oxydes ferro-manganiques, charbon de bois, briques		0,6-0,7	XX-XXI
158441	C 145	14	145	0,6		fossé	limon sableux brun jaune, traces d'oxydes ferro-manganiques, rares nodules calcaire		0,6	
158441	C 145	14	146	0,6		fossé	limon sableux brun jaune, traces d'oxydes ferro-manganiques, rares nodules calcaire		0,5	
158441	C 145	14	147	1		fossé	limon sableux brun jaune, traces d'oxydes ferro-manganiques, rares nodules calcaire		0,5	
158441	C 145	14	148	0,6		fossé	limon sableux brun jaune, traces d'oxydes ferro-manganiques, rares nodules calcaire		0,5	
158441	C 145	14	149	0,6		fossé	limon sableux brun jaune, traces d'oxydes ferro-manganiques, rares nodules calcaire		0,5	
158441	C 145	14	150	0,6		fossé	limon sableux brun jaune, traces d'oxydes ferro-manganiques, rares nodules calcaire		0,5	
158441	C 145	14	151	0,6		fossé	limon sableux brun jaune, traces d'oxydes ferro-manganiques, rares nodules calcaire		0,5	
158441	C 145	14	152	11		fossé	limon sableux brun jaune, traces d'oxydes ferro-manganiques, rares nodules calcaire		0,5	
158441	C 145	14	153	0,6		fossé	limon sableux brun jaune, traces d'oxydes ferro-manganiques, rares nodules calcaire		0,5	
158441	C 145	14	154	0,6		fossé	limon sableux brun jaune, traces d'oxydes ferro-manganiques, rares nodules calcaire		0,5	

## Inventaire des unités stratigraphiques et des structures archéologiques

Code Patriarche	Parcelle	N°TR	N°ST	dimensions		identification		description surface (forme et comblement)	% fouillé	niv d'app	chronologie
				long (m)	larg (m)	dia (m)	prof (m)				
158441	C.145	14	155	0,6		fossé		limon sableux brun jaune, traces d'oxydes ferro-manganiques, rares nodules calcaire		0,5	
158441	C.145	14	156	0,6		fossé		limon sableux brun jaune, traces d'oxydes ferro-manganiques, rares nodules calcaire		0,5	
158441	C.145	14	157	0,6		fossé		limon sableux brun jaune, traces d'oxydes ferro-manganiques, rares nodules calcaire		0,5	
158441	C.145	14	158	0,6		fossé		limon sableux brun jaune, traces d'oxydes ferro-manganiques, rares nodules calcaire		0,5	
158441	C.145	14	159	0,6		fossé		limon sableux brun jaune, traces d'oxydes ferro-manganiques, rares nodules calcaire		0,6	
158441	C.145	14	160	0,6		fossé		limon sableux brun jaune, traces d'oxydes ferro-manganiques, rares nodules calcaire		0,6	
158441	C.145	14	161	0,6		fossé		limon sableux brun jaune, traces d'oxydes ferro-manganiques, rares nodules calcaire		0,6	
158441	C.145	14	162	0,6		fossé		limon sableux brun jaune, traces d'oxydes ferro-manganiques, rares nodules calcaire		0,5-0,6	
158441	C.145	14	163	0,6		fossé		limon sableux brun jaune, traces d'oxydes ferro-manganiques, rares nodules calcaire		0,5-0,6	
158441	C.145	14	164	0,6		fossé		limon sableux brun jaune, traces d'oxydes ferro-manganiques, rares nodules calcaire		0,5-0,6	
158441	C.145	14	165	0,6		fossé		limon sableux brun jaune, traces d'oxydes ferro-manganiques, rares nodules calcaire		0,5-0,6	
158441	C.145	14	166	0,6		fossé		limon sableux brun jaune, traces d'oxydes ferro-manganiques, rares nodules calcaire		0,5-0,6	
158441	C.145	14	167	0,6		fossé		limon sableux brun jaune, traces d'oxydes ferro-manganiques, rares nodules calcaire		0,5-0,6	
158441	C.145	14	168	0,6		fossé		limon sableux brun jaune, traces d'oxydes ferro-manganiques, rares nodules calcaire		0,5-0,6	
158441	C.145	14	169	0,6		fossé		limon sableux brun jaune, traces d'oxydes ferro-manganiques, rares nodules calcaire		0,5-0,6	
158441	C.145	14	170	0,6		fossé		limon sableux brun jaune, traces d'oxydes ferro-manganiques, rares nodules calcaire		0,5-0,6	
158441	C.145	14	171	0,6		fossé		limon sableux brun jaune, traces d'oxydes ferro-manganiques, rares nodules calcaire		0,5-0,6	
158441	C.145	15	172	1,3		dépression		limon brun argilo-sableux, traces d'oxydes ferro-manganiques et de charbon de bois		0,7	
158441	C.145	15	173	1,3		fossé		limon argilo-sableux brun		0,6	
158441	C.145	15	174	0,6	0,14	fossé		limon sableux jaunâtre à gris clair, oxydes ferro-manganiques	sondage manuel	0,5	
158441	C.145	15	175	0,6		fossé		limon sableux brun jaune, traces d'oxydes ferro-manganiques, rares nodules calcaire		0,5	
158441	C.145	15	176	0,6		fossé		limon sableux brun jaune, traces d'oxydes ferro-manganiques, rares nodules calcaire		0,5	
158441	C.145	15	177	0,6		fossé		limon sableux brun jaune, traces d'oxydes ferro-manganiques, rares nodules calcaire		0,5	
158441	C.145	15	178	0,6		fossé		limon sableux brun jaune, traces d'oxydes ferro-manganiques, rares nodules calcaire		0,5	
158441	C.145	15	179	2,3		fossé		limon argilo-sableux brun à jaune, oxydes ferro-manganiques, traces blanchâtres		0,5	
158441	C.145	15	180	2,8		fossé		limon argilo-sableux brun à jaune, oxydes ferro-manganiques		0,6	
158441	C.145	15	181	0,5		fossé		limon argilo-sableux brun à jaune, oxydes ferro-manganiques		0,5	
158441	C.145	15	182	0,5		fossé		limon argilo-sableux brun à jaune, oxydes ferro-manganiques		0,5	
158441	C.145	15	183	0,5		fossé		limon argilo-sableux brun à jaune, oxydes ferro-manganiques		0,5	
158441	C.145	15	184	0,5		fossé		limon argilo-sableux brun à jaune, oxydes ferro-manganiques		0,5	
158441	C.145	15	185	0,5		fossé		limon argilo-sableux brun à jaune, oxydes ferro-manganiques		0,5	
158441	C.145	15	186	0,5		fossé		limon argilo-sableux brun à jaune, oxydes ferro-manganiques		0,5	
158441	C.145	15	187	0,5		fossé		limon argilo-sableux brun à jaune, oxydes ferro-manganiques		0,5	
158441	C.145	15	188	1,2		fossé		limon argilo-sableux brun à jaune, oxydes ferro-manganiques		0,5	
158441	C.145	15	189	0,6		fossé		limon argilo-sableux brun à jaune, oxydes ferro-manganiques		0,5	
158441	C.145	15	190	0,6		fossé		limon argilo-sableux brun à jaune, oxydes ferro-manganiques		0,5	
158441	C.145	15	191	0,6		fossé		limon argilo-sableux brun à jaune, oxydes ferro-manganiques		0,5	
158441	C.145	15	192	0,6		fossé		limon argilo-sableux brun à jaune, oxydes ferro-manganiques		0,5	
158441	C.145	15	193	0,7		fossé		limon argilo-sableux brun à jaune, oxydes ferro-manganiques		0,5	
158441	C.145	15	194	1		fossé		limon argilo-sableux brun à jaune, oxydes ferro-manganiques		0,5	
158441	C.145	15	195	0,8		fossé		limon argilo-sableux brun à jaune, oxydes ferro-manganiques		0,5	
158441	C.145	15	196	1,1		fossé		limon argilo-sableux brun à jaune, oxydes ferro-manganiques		0,5	

## Inventaire des unités stratigraphiques et des structures archéologiques

Code Patriarche	Parcelle	N°TR	N°ST	dimensions		dia (m)	prof (m)	identification	description surface (forme et comblement)	% fouillé	niv d'app	chronologie
				long (m)	larg (m)							
158441	C 145	15	197		0,8			fossé	limon argilo-sableux brun à jaune, oxydes ferro-manganiques		0,5	
158441	C 145	15	198		0,7			fossé	limon argilo-sableux brun à jaune, oxydes ferro-manganiques		0,5	
158441	C 145	15	199		0,6			fossé	limon argilo-sableux brun à jaune, oxydes ferro-manganiques		0,5	
158441	C 145	15	200		0,7			fossé	limon argilo-sableux brun à jaune, oxydes ferro-manganiques		0,5	
158441	C 145	15	201		0,5			fossé	limon argilo-sableux brun à jaune, oxydes ferro-manganiques		0,5	
158441	C 145	15	202		0,7			fossé	limon argilo-sableux brun à jaune, oxydes ferro-manganiques		0,5	
158441	C 145	15	203		0,6			fossé	limon argilo-sableux brun à jaune, oxydes ferro-manganiques		0,5	
158441	C 145	15	204		0,7			fossé	limon argilo-sableux brun à jaune, oxydes ferro-manganiques		0,5	
158441	C 145	15	205		0,5			fossé	limon argilo-sableux brun à jaune, oxydes ferro-manganiques		0,5	
158441	C 145	15	206		0,5			fossé	limon argilo-sableux brun à jaune, oxydes ferro-manganiques		0,5	
158441	C 145	15	207		1			fossé	limon argilo-sableux brun à jaune, oxydes ferro-manganiques		0,5	
158441	C 145	16	208		10			dépression ?	limon argilo-sableux brun à brun foncé, charbon de bois, briques, rares oxydes ferro-manganiques		0,7	
158441	C 145	16	209		6			dépression ?	limon argilo-sableux brun à brun foncé, charbon de bois, briques, rares oxydes ferro-manganiques		0,7	
158441	C 145	16	210		0,8			fossé	limon argilo-sableux brun à brun foncé, charbon de bois, rares oxydes ferro-manganiques		0,7	
158441	C 145	16	211			0,3		trou de poteau	limon argilo-sableux brun à jaune homogène		0,5	
158441	C 145	16	212			0,3		trou de poteau	limon argilo-sableux brun à jaune homogène		0,5	
158441	C 145	16	213		1,1			fossé	limon argilo-sableux brun, oxydes ferro-manganiques, rares traces charbonneuses		0,5	
158441	C 145	16	214		0,5			fossé	limon sableux brun jaune, rares traces d'oxydes ferro-manganiques		0,45	
158441	C 145	16	215		0,5			fossé	limon sableux brun jaune, rares traces d'oxydes ferro-manganiques		0,45	
158441	C 145	16	216		0,5			fossé	limon sableux brun jaune, rares traces d'oxydes ferro-manganiques		0,45	
158441	C 145	16	217		0,5			fossé	limon sableux brun jaune, rares traces d'oxydes ferro-manganiques		0,45	
158441	C 145	16	218		0,5			fossé	limon sableux brun jaune, rares traces d'oxydes ferro-manganiques		0,45	
158441	C 145	16	219		2,5			fossé	limon argilo-sableux brun, traces ferro-manganiques, rares nodules calcaires		0,5	
158441	C 145	16	220		1,1			fossé	limon argilo-sableux brun, traces ferro-manganiques, rares nodules calcaires		0,5	
158441	C 145	16	221		2,5			fossé	limon argilo-sableux brun, traces ferro-manganiques, rares nodules calcaires		0,5	
158441	C 145	16	222		0,5 à 0,6			fossé	limon sableux brun jaune, rares traces d'oxydes ferro-manganiques		0,5	
158441	C 145	16	223		0,5 à 0,6			fossé	limon sableux brun jaune, rares traces d'oxydes ferro-manganiques		0,5	
158441	C 145	16	224		0,5 à 0,6			fossé	limon sableux brun jaune, rares traces d'oxydes ferro-manganiques		0,5	
158441	C 145	16	225		0,5 à 0,6			fossé	limon sableux brun jaune, rares traces d'oxydes ferro-manganiques		0,5	
158441	C 145	16	226		0,5 à 0,6			fossé	limon sableux brun jaune, rares traces d'oxydes ferro-manganiques		0,5	
158441	C 145	16	227		0,5 à 0,6			fossé	limon sableux brun jaune, rares traces d'oxydes ferro-manganiques		0,5	
158441	C 145	16	228		0,5 à 0,6			fossé	limon sableux brun jaune, rares traces d'oxydes ferro-manganiques		0,5	
158441	C 145	16	229		0,5 à 0,6			fossé	limon sableux brun jaune, rares traces d'oxydes ferro-manganiques		0,5	
158441	C 145	16	230		0,5 à 0,6			fossé	limon sableux brun jaune, rares traces d'oxydes ferro-manganiques		0,5	
158441	C 145	16	231		0,5 à 0,6			fossé	limon sableux brun jaune, rares traces d'oxydes ferro-manganiques		0,5	
158441	C 145	16	232		0,5 à 0,6			fossé	limon sableux brun jaune, rares traces d'oxydes ferro-manganiques		0,5	
158441	C 145	16	233		0,5 à 0,6			fossé	limon sableux brun jaune, rares traces d'oxydes ferro-manganiques		0,5	
158441	C 145	16	234		0,5 à 0,6			fossé	limon sableux brun jaune, rares traces d'oxydes ferro-manganiques		0,5	
158441	C 145	16	235		0,5 à 0,6			fossé	limon sableux brun jaune, rares traces d'oxydes ferro-manganiques		0,5	
158441	C 145	16	236		0,5 à 0,6			fossé	limon sableux brun jaune, rares traces d'oxydes ferro-manganiques		0,5	
158441	C 145	16	237		0,5 à 0,6			fossé	limon sableux brun jaune, rares traces d'oxydes ferro-manganiques		0,5	
158441	C 145	16	238		1			fossé	limon sableux brun jaune, rares traces d'oxydes ferro-manganiques		0,5	
158441	C 145	16	239		0,5			fossé	limon sableux brun jaune, rares traces d'oxydes ferro-manganiques		0,5	

## Inventaire des unités stratigraphiques et des structures archéologiques

Code Patriarche	Parcelle	N°TR	N°ST	dimensions		dia (m)	prof (m)	identification	description surface (forme et comblement)	% fouillé	niv d'app	chronologie
				long (m)	larg (m)							
158441	C.145	16	240	0,8				fossé	limon sableux brun jaune, rares traces d'oxydes ferro-manganiques		0,5	
158441	C.145	16	241	0,6				fossé	limon sableux brun jaune, rares traces d'oxydes ferro-manganiques		0,5	
158441	C.145	16	242	0,6				fossé	limon sableux brun jaune, rares traces d'oxydes ferro-manganiques		0,5	
158441	C.145	16	243	ind.				niveau?	limon argilo-sableux gris, traces de charbons de bois assez nombreuses et de TCA		0,5	
158441	C.145	16	244	0,6				fossé	limon sableux brun jaune, rares traces d'oxydes ferro-manganiques		0,5	
158441	C.145	16	245	0,6				fossé	limon sableux brun jaune, rares traces d'oxydes ferro-manganiques		0,5	
158441	C.145	16	246	0,6				fossé	limon sableux brun jaune, rares traces d'oxydes ferro-manganiques		0,5	
158441	C.145	16	247	0,6				fossé	limon sableux brun jaune, rares traces d'oxydes ferro-manganiques		0,5	
158441	C.145	16	248	0,6				fossé	limon sableux brun jaune, rares traces d'oxydes ferro-manganiques		0,5	
158441	C.145	16	249	0,6				fossé	limon sableux brun jaune, rares traces d'oxydes ferro-manganiques		0,5	
158441	C.145	16	250	0,6				fossé	limon sableux brun jaune, rares traces d'oxydes ferro-manganiques		0,5	
158441	C.145	17	251	2				fossé	limon argilo-sableux brun à brun foncé, charbon de bois, briques, rares oxydes ferro-manganiques		0,6	
158441	C.145	17	252	0,5				fossé	limon argileux plutôt jaunâtre à blanchâtre		0,5	
158441	C.145	17	253	0,5				fossé	limon argilo-sableux brun, rares oxydes ferro-manganiques		0,5	
158441	C.145	17	254					fossé	limon argilo-sableux brun, rares oxydes ferro-manganiques		0,5	
158441	C.145	17	255	4				fossé	limon argilo-sableux brun à brun foncé, charbon de bois, briques, rares oxydes ferro-manganiques		0,5	
158441	C.145	17	256	1				fossé	limon argilo-sableux brun à brun foncé, charbon de bois, briques, rares oxydes ferro-manganiques		0,5	
158441	C.145	17	257	2				fossé	limon argilo-sableux brun à brun foncé, charbon de bois, briques, rares oxydes ferro-manganiques		0,5	
158441	C.145	17	258	1				fossé	limon argilo-sableux brun à brun foncé, charbon de bois, briques, rares oxydes ferro-manganiques		0,5	
158441	C.145	17	259	2,5				fosse/ impact?	limon sableux jaune, oxydes ferro-manganiques, métal		0,5	
158441	C.145	17	260	0,5				fossé	limon argilo-sableux brun, rares oxydes ferro-manganiques		0,5	
158441	C.145	17	261	1,1				fossé	limon argilo-sableux brun, rares oxydes ferro-manganiques		0,5	
158441	C.145	17	262					fossé	limon argilo-sableux brun, rares oxydes ferro-manganiques		0,5	
158441	C.145	17	263	0,5				fossé	limon argilo-sableux brun, rares oxydes ferro-manganiques		0,5	
158441	C.145	17	264	4				fossé	limon argilo-sableux brun, rares oxydes ferro-manganiques		0,5	
158441	C.145	17	265	1				fossé	limon argilo-sableux brun, homogène		0,5	
158441	C.145	17	266	3,4				fossé ?	limon sableux brun foncé, compact, cailloux, métal, verre, etc.		0,5	XX-XI
158441	C.145	17	267	0,6				fossé	limon sablo-argileux brun jaune, rares traces blanchâtres et oxydes ferro-manganiques		0,5	
158441	C.145	17	268	0,6				fossé	limon sablo-argileux brun jaune, rares traces blanchâtres et oxydes ferro-manganiques		0,5	
158441	C.145	17	269	0,6				fossé	limon sablo-argileux brun jaune, rares traces blanchâtres et oxydes ferro-manganiques		0,5	
158441	C.145	17	270	1,2				fossé	limon sablo-argileux brun jaune, très rares traces d'oxydes ferro-manganiques		0,5	
158441	C.145	17	271	0,5				fossé	limon sablo-argileux brun jaune, très rares traces d'oxydes ferro-manganiques		0,5	
158441	C.145	17	272	0,6				fossé	limon sablo-argileux brun jaune, très rares traces d'oxydes ferro-manganiques		0,5	
158441	C.145	17	273	0,6				fossé	limon sablo-argileux brun jaune, très rares traces d'oxydes ferro-manganiques		0,5	
158441	C.145	17	274	0,6		0,1		fossé	limon sablo-argileux brun jaune, très rares traces d'oxydes ferro-manganiques	sondage PM	0,5	
158441	C.145	17	275	0,6		0,1,2		fossé	limon sablo-argileux brun jaune, très rares traces d'oxydes ferro-manganiques	sondage PM	0,5	
158441	C.145	17	276	0,6				fossé	limon sablo-argileux brun jaune, très rares traces d'oxydes ferro-manganiques		0,5	
158441	C.145	17	277	0,6				fossé	limon sablo-argileux brun jaune, très rares traces d'oxydes ferro-manganiques		0,5	
158441	C.145	17	278	0,6				fossé	limon sablo-argileux brun jaune, très rares traces d'oxydes ferro-manganiques		0,5	
158441	C.145	17	279	0,6				fosse ?	remblai divers gris foncé, cailloux, métal, calcaire, etc.		0,6	XX-XI
158441	C.145	17	280	0,9				fossé	limon sablo-argileux brun jaune, très rares traces d'oxydes ferro-manganiques		0,6	
158441	C.145		281					fossé				
158441	C.145		282					fossé				

## Inventaire du mobilier archéologique

Identifiant	Type	Détermination	Nombre d'éléments	Poids (en g)	État sanitaire	Type de préservation à envisager	Date de découverte	Parcelle de découverte	Chronologie	Type de contenant	N° contenant
158441_111_255_1	111 - Métal non ferreux	scorie ?	1	18	Stable	0	9/29/2017	C145	-	Bac 400*300*175	1
158441_112_121_1	112 - Métal ferreux	ind	1	7	Stable	0	9/29/2017	C145	-	Bac 400*300*175	1
158441_112_54_1	112 - Métal ferreux	ind	2	11	Stable	0	9/29/2017	C145	-	Bac 400*300*175	1
158441_112_50_1	112 - Métal ferreux	ind	1	10	Stable	0	9/29/2017	C145	-	Bac 400*300*175	1
158441_112_84_1	112 - Métal ferreux	ind	1	5	Stable	0	9/29/2017	C145	-	Bac 400*300*175	1
158441_112_155_1	112 - Métal ferreux	ind	2	17	Stable	0	9/29/2017	C145	-	Bac 400*300*175	1
158441_112_243_1	112 - Métal ferreux	ind	1	5	Stable	0	9/29/2017	C145	-	Bac 400*300*175	1
158441_111_147_1	111 - Métal non ferreux	ind	1	1	Stable	0	9/29/2017	C145	-	Bac 400*300*175	1
158441_111_156_1	111 - Métal non ferreux	épingle	1	2	Stable	0	9/29/2017	C145	-	Bac 400*300*175	1
158441_111_272_1	111 - Métal non ferreux	monnaie	1	5	Stable	0	9/29/2017	C145	-	Bac 400*300*175	1
158441_112_140_1	112 - Métal ferreux	clous	35	35	Stable	0	9/29/2017	C145	-	Bac 400*300*175	1
158441_121_17_1	121 - Lithique	éclat et grattoir	2	22	Stable	0	9/29/2017	C145	-	Bac 400*300*175	1
158441_133_220_1	133 - Faune (non travaillé)	ind	2	30	Stable	0	9/29/2017	C145	-	Bac 400*300*175	1
158441_133_255_1	133 - Faune (non travaillé)	dent	1	12	Stable	0	9/29/2017	C145	-	Bac 400*300*175	1
158441_132_140_1	132 - Humain (non travaillé)	os humains brûlés	72	72	Stable	0	9/29/2017	C145	-	Bac 400*300*175	1
158441_134_140_1	134 - Autre (non travaillé)	charbons	27	27	Stable	0	9/29/2017	C145	-	Bac 400*300*175	1
158441_141_4_1	141 - Céramique	(vide)	2	12	Stable	0	9/29/2017	C145	Moyen-Âge classique	Bac 400*300*175	0
158441_141_17_1	141 - Céramique	(vide)	14	42	Stable	0	9/29/2017	C145	Haut-Empire	Bac 400*300*175	0
158441_141_17_2	141 - Céramique	pot	1	-	Stable	0	9/29/2017	C145	Haut-Empire	Bac 400*300*175	0
158441_141_25_1	141 - Céramique	(vide)	2	9	Stable	0	9/29/2017	C145	Moyen-Âge classique	Bac 400*300*175	0
158441_141_26_1	141 - Céramique	(vide)	7	16	Stable	0	9/29/2017	C145	Haut-Empire	Bac 400*300*175	0
158441_141_33_1	141 - Céramique	bassin	2	21	Stable	0	9/29/2017	C145	Moyen-Âge classique	Bac 400*300*175	0
158441_141_42_1	141 - Céramique	(vide)	6	79	Stable	0	9/29/2017	C145	Moyen-Âge classique	Bac 400*300*175	0
158441_141_42_2	141 - Céramique	oule	1	-	Stable	0	9/29/2017	C145	Moyen-Âge classique	Bac 400*300*175	0
158441_141_42_3	141 - Céramique	pichet	1	-	Stable	0	9/29/2017	C145	Moyen-Âge classique	Bac 400*300*175	0
158441_141_49_1	141 - Céramique	oule	1	15	Stable	0	9/29/2017	C145	Moyen-Âge classique	Bac 400*300*175	0
158441_141_50_1	141 - Céramique	(vide)	4	5	Stable	0	9/29/2017	C145	Protohistoire	Bac 400*300*175	0
158441_141_54_1	141 - Céramique	(vide)	1	9	Stable	0	9/29/2017	C145	Époque Moderne	Bac 400*300*175	0
158441_141_55_1	141 - Céramique	(vide)	3	12	Stable	0	9/29/2017	C145	Protohistoire	Bac 400*300*175	0
158441_141_58_1	141 - Céramique	pot	5	28	Stable	0	9/29/2017	C145	Gallo-Romain	Bac 400*300*175	0
158441_141_59_1	141 - Céramique	(vide)	13	77	Stable	0	9/29/2017	C145	Haut-Empire	Bac 400*300*175	0
158441_141_59_2	141 - Céramique	cruche	1	-	Stable	0	9/29/2017	C145	Haut-Empire	Bac 400*300*175	0
158441_141_82_1	141 - Céramique	(vide)	1	26	Stable	0	9/29/2017	C145	Époque Moderne	Bac 400*300*175	0
158441_141_83_1	141 - Céramique	(vide)	1	14	Stable	0	9/29/2017	C145	Gallo-Romain	Bac 400*300*175	0
158441_141_84_1	141 - Céramique	(vide)	1	2	Stable	0	9/29/2017	C145	Gallo-Romain	Bac 400*300*175	0
158441_141_103_1	141 - Céramique	(vide)	4	70	Stable	0	9/29/2017	C145	Époque Moderne	Bac 400*300*175	0
158441_141_118_1	141 - Céramique	(vide)	1	5	Stable	0	9/29/2017	C145	Moyen-Âge classique	Bac 400*300*175	0
158441_141_119_1	141 - Céramique	(vide)	1	6	Stable	0	9/29/2017	C145	Gallo-Romain	Bac 400*300*175	0
158441_141_127_1	141 - Céramique	(vide)	5	6	Stable	0	9/29/2017	C145	Haut-Empire	Bac 400*300*175	0
158441_141_150_1	141 - Céramique	(vide)	2	5	Stable	0	9/29/2017	C145	Gallo-Romain	Bac 400*300*175	0

## Inventaire du mobilier archéologique

Identifiant	Type	Détermination	Nombre d'éléments	Poids (en g)	État sanitaire	Type de préservation à envisager	Date de découverte	Parcelle de découverte	Chronologie	Type de contenant	N° contenant
158441_141_156_1	141 - Céramique	(vide)	2	22	Stable	0	9/29/2017	C145	Époque Moderne	Bac 400*300*175	0
158441_141_164_1	141 - Céramique	(vide)	2	57	Stable	0	9/29/2017	C145	Moyen-Âge classique	Bac 400*300*175	0
158441_141_171_1	141 - Céramique	(vide)	1	33	Stable	0	9/29/2017	C145	Moyen-Âge classique	Bac 400*300*175	0
158441_141_174_1	141 - Céramique	(vide)	21	25	Stable	0	9/29/2017	C145	Protohistoire	Bac 400*300*175	0
158441_141_176_1	141 - Céramique	(vide)	1	6	Stable	0	9/29/2017	C145	Protohistoire	Bac 400*300*175	0
158441_141_196_1	141 - Céramique	(vide)	1	16	Stable	0	9/29/2017	C145	Époque Moderne	Bac 400*300*175	0
158441_141_196_2	141 - Céramique	marmite	1	-	Stable	0	9/29/2017	C145	Époque Moderne	Bac 400*300*175	0
158441_141_197_1	141 - Céramique	(vide)	1	6	Stable	0	9/29/2017	C145	Moyen-Âge	Bac 400*300*175	0
158441_141_221_1	141 - Céramique	(vide)	1	8	Stable	0	9/29/2017	C145	Gallo-Romain	Bac 400*300*175	0
158441_141_243_1	141 - Céramique	(vide)	4	6	Stable	0	9/29/2017	C145	Haut-Empire	Bac 400*300*175	0
158441_141_255_1	141 - Céramique	(vide)	2	2	Stable	0	9/29/2017	C145	Protohistoire	Bac 400*300*175	0
158441_141_282_1	141 - Céramique	(vide)	1	6	Stable	0	9/29/2017	C145	Protohistoire	Bac 400*300*175	0
158441_152_54_1	152 - Verre autre	ind	2	20	Stable	0	9/29/2017	C145	-	Bac 400*300*175	1

## Inventaire des prélèvements

Néant

## Inventaire des documents graphiques

Identifiant	Ensemble	Légende	Échelle 1/	Individu/ lot	Auteur	Date	Nature support	Type de contenant	Numéro contenant
158441_222_0_1	Terrain	cahier de relevés des tranchées	100	Lot	G. Teysseire	9/29/2017	Papier millimétré	Boîte archive A4	1
158441_222_0_2	Terrain	Relevés des coupes de la st 140	10	Individu	E. Elleboode	9/29/2017	Papier millimétré	Boîte archive A4	1
158441_222_0_3	Terrain	Relevés des coupes des st 33-35	20	Individu	G. Teysseire	9/29/2017	Papier millimétré	Boîte archive A4	1
158441_222_0_4	Terrain	Relevé de la coupe de la st 34	20	Individu	G. Teysseire	9/29/2017	Papier millimétré	Boîte archive A4	1
158441_222_0_5	Terrain	Relevé des st 21-23-25	20	Individu	G. Teysseire	9/29/2017	Papier millimétré	Boîte archive A4	1
158441_222_0_6	Terrain	Relevé de la coupe de la st 174	20	Individu	G. Teysseire	9/29/2017	Papier millimétré	Boîte archive A4	1
158441_222_0_7	Terrain	Relevé des st 57-58-59	20	Individu	G. Teysseire	9/29/2017	Papier millimétré	Boîte archive A4	1
158441_222_0_8	Terrain	Relevé des coupes des st 274-275	20	Individu	G. Teysseire	9/29/2017	Papier millimétré	Boîte archive A4	1

## Inventaire des documents photographiques et audiovisuels

Identifiant	Ensemble	Légende	Auteur	Date	Nature Support	Type contenant	Nom fichier
158441_224_0_1	Terrain	Vue générale de la tranchée 4	G. Teysseire	9/29/2017	Numérique	CD.rom	158441_224_0_1.jpeg
158441_224_0_2	Terrain	Vue de la tranchée 1	G. Teysseire	9/29/2017	Numérique	CD.rom	158441_224_0_2.jpeg
158441_224_0_3	Terrain	Vue de la tranchée 2	G. Teysseire	9/29/2017	Numérique	CD.rom	158441_224_0_3.jpeg
158441_224_0_4	Terrain	Vue des structures 6 et 7, tranchée 2	G. Teysseire	9/29/2017	Numérique	CD.rom	158441_224_0_4.jpeg
158441_224_0_5	Terrain	Vue générale de la tranchée 3	G. Teysseire	9/29/2017	Numérique	CD.rom	158441_224_0_5.jpeg
158441_224_0_6	Terrain	Vue de l'extrémité NE de la tranchée 3	G. Teysseire	9/29/2017	Numérique	CD.rom	158441_224_0_6.jpeg
158441_224_0_7	Terrain	Vue des st 14 à 16, tranchée 3	G. Teysseire	9/29/2017	Numérique	CD.rom	158441_224_0_7.jpeg
158441_224_0_8	Terrain	Vue du sondage 5, LOG	G. Teysseire	9/29/2017	Numérique	CD.rom	158441_224_0_8.jpeg
158441_224_0_9	Terrain	Vue du sondage 5, vers le NE	G. Teysseire	9/29/2017	Numérique	CD.rom	158441_224_0_9.jpeg
158441_224_0_10	Terrain	Vue du LOG, tranchée 10, vers le SE	G. Teysseire	9/29/2017	Numérique	CD.rom	158441_224_0_10.jpeg
158441_224_25_11	Terrain	Vue de la st 25 vers le SE	G. Teysseire	9/29/2017	Numérique	CD.rom	158441_224_25_11.jpeg
158441_224_23_12	Terrain	Vue de la st 23 vers le NE	G. Teysseire	9/29/2017	Numérique	CD.rom	158441_224_23_12.jpeg
158441_224_21_13	Terrain	Vue de la st 21 vers le NE	G. Teysseire	9/29/2017	Numérique	CD.rom	158441_224_21_13.jpeg
158441_224_174_14	Terrain	Vue de la st 174 vers le NE	G. Teysseire	9/29/2017	Numérique	CD.rom	158441_224_174_14.jpeg
158441_224_174_15	Terrain	Vue de la st 174 vers le NE	G. Teysseire	9/29/2017	Numérique	CD.rom	158441_224_174_15.jpeg
158441_224_174_16	Terrain	Vue de la st 174 vers le NE	G. Teysseire	9/29/2017	Numérique	CD.rom	158441_224_174_16.jpeg
158441_224_272_17	Terrain	Vue de la monnaie dans le fossé st 272 vers le NE	G. Teysseire	9/29/2017	Numérique	CD.rom	158441_224_272_17.jpeg
158441_224_272_18	Terrain	Vue de la monnaie dans le fossé st 272 vers le NE	G. Teysseire	9/29/2017	Numérique	CD.rom	158441_224_272_18.jpeg
158441_224_275_19	Terrain	Vue de la coupe du fossé st 275, vers le NO	G. Teysseire	9/29/2017	Numérique	CD.rom	158441_224_275_19.jpeg
158441_224_275_20	Terrain	Vue de la coupe du fossé st 275, vers le NO	G. Teysseire	9/29/2017	Numérique	CD.rom	158441_224_275_20.jpeg
158441_224_275_21	Terrain	Vue de détail de la coupe du fossé st 275, vers le NO	G. Teysseire	9/29/2017	Numérique	CD.rom	158441_224_275_21.jpeg
158441_224_274_22	Terrain	Vue de la coupe du fossé st 274, vers le NO	G. Teysseire	9/29/2017	Numérique	CD.rom	158441_224_274_22.jpeg
158441_224_0_23	Terrain	Vue des st 275 et 274, vers le NO	G. Teysseire	9/29/2017	Numérique	CD.rom	158441_224_0_23.jpeg
158441_224_0_24	Terrain	Vue générale de la tranchée 13, vers le SO	G. Teysseire	9/29/2017	Numérique	CD.rom	158441_224_0_24.jpeg
158441_224_0_25	Terrain	Vue générale de la tranchée 13, vers le SO	G. Teysseire	9/29/2017	Numérique	CD.rom	158441_224_0_25.jpeg
158441_224_0_26	Terrain	Vue générale de la tranchée 13, vers le SO	G. Teysseire	9/29/2017	Numérique	CD.rom	158441_224_0_26.jpeg
158441_224_0_27	Terrain	Vue générale de la tranchée 12, vers le NE	G. Teysseire	9/29/2017	Numérique	CD.rom	158441_224_0_27.jpeg
158441_224_34_28	Terrain	Vue de la coupe du fossé st 34, vers le sud	E. Elleboode	9/29/2017	Numérique	CD.rom	158441_224_34_28.jpeg
158441_224_34_29	Terrain	Vue de la coupe du fossé st 34, vers le sud	E. Elleboode	9/29/2017	Numérique	CD.rom	158441_224_34_29.jpeg

## Inventaire des documents photographiques et audiovisuels

Identifiant	Ensemble	Légende	Auteur	Date	Nature Support	Type contenant	Nom fichier
158441_224_33_30	Terrain	Vue de la coupe du fossé st 33, vers le NE	E. Elleboode	9/29/2017	Numérique	CD.rom	158441_224_33_30.jpeg
158441_224_33_31	Terrain	Vue de la coupe du fossé st 33, vers le NE	E. Elleboode	9/29/2017	Numérique	CD.rom	158441_224_33_31.jpeg
158441_224_0_32	Terrain	Vue de la coupe des st 35-36, vers le NE	E. Elleboode	9/29/2017	Numérique	CD.rom	158441_224_0_32.jpeg
158441_224_0_33	Terrain	Vue de la coupe des st 35-36, vers le NE	E. Elleboode	9/29/2017	Numérique	CD.rom	158441_224_0_33.jpeg
158441_224_140_34	Terrain	Vue de la st 140, vers le NO	E. Elleboode	9/29/2017	Numérique	CD.rom	158441_224_140_34.jpeg
158441_224_140_35	Terrain	Vue de détail de la st 140	E. Elleboode	9/29/2017	Numérique	CD.rom	158441_224_140_35.jpeg
158441_224_140_36	Terrain	Vue de détail de la st 140	E. Elleboode	9/29/2017	Numérique	CD.rom	158441_224_140_36.jpeg
158441_224_58_37	Terrain	Vue de la st 58, vers le SO	G. Teysseire	9/29/2017	Numérique	CD.rom	158441_224_58_37.jpeg
158441_224_58_38	Terrain	Vue de la st 58, vers le SO	G. Teysseire	9/29/2017	Numérique	CD.rom	158441_224_58_38.jpeg
158441_224_140_39	Terrain	Vue du 1/4 fouillé de la st 140, vers le nord	E. Elleboode	9/29/2017	Numérique	CD.rom	158441_224_140_39.jpeg
158441_224_140_40	Terrain	Vue du 1/4 fouillé de la st 140, vers le nord	E. Elleboode	9/29/2017	Numérique	CD.rom	158441_224_140_40.jpeg
158441_224_140_41	Terrain	Vue du 1/4 fouillé de la st 140, vers le nord	E. Elleboode	9/29/2017	Numérique	CD.rom	158441_224_140_41.jpeg
158441_224_140_42	Terrain	Vue du 1/4 fouillé de la st 140, vers le nord	E. Elleboode	9/29/2017	Numérique	CD.rom	158441_224_140_42.jpeg
158441_224_140_43	Terrain	Vue du 1/4 fouillé de la st 140, vers le NO	E. Elleboode	9/29/2017	Numérique	CD.rom	158441_224_140_43.jpeg
158441_224_140_44	Terrain	Vue du 1/4 fouillé de la st 140, vers le NO	E. Elleboode	9/29/2017	Numérique	CD.rom	158441_224_140_44.jpeg
158441_224_140_45	Terrain	Vue du 1/4 fouillé de la st 140, vers le NO	E. Elleboode	9/29/2017	Numérique	CD.rom	158441_224_140_45.jpeg
158441_224_140_46	Terrain	Vue du 1/4 fouillé de la st 140, vers le SO	E. Elleboode	9/29/2017	Numérique	CD.rom	158441_224_140_46.jpeg
158441_224_140_47	Terrain	Vue du 1/4 fouillé de la st 140, vers le N	E. Elleboode	9/29/2017	Numérique	CD.rom	158441_224_140_47.jpeg
158441_224_140_48	Terrain	Vue du 1/4 fouillé de la st 140, vers le N	E. Elleboode	9/29/2017	Numérique	CD.rom	158441_224_140_48.jpeg
158441_224_140_49	Terrain	Vue du 1/4 fouillé de la st 140, vers le N	E. Elleboode	9/29/2017	Numérique	CD.rom	158441_224_140_49.jpeg
158441_224_140_50	Terrain	Vue du 1/4 fouillé de la st 140, vers le SO	E. Elleboode	9/29/2017	Numérique	CD.rom	158441_224_140_50.jpeg
158441_224_140_51	Terrain	Vue du 1/4 fouillé de la st 140, vers le N	E. Elleboode	9/29/2017	Numérique	CD.rom	158441_224_140_51.jpeg
158441_224_140_52	Terrain	Vue du 1/4 fouillé de la st 140, vers le N	E. Elleboode	9/29/2017	Numérique	CD.rom	158441_224_140_52.jpeg
158441_224_57_53	Terrain	Vue de la st 57, vers l'ouest	G. Teysseire	9/29/2017	Numérique	CD.rom	158441_224_57_53.jpeg
158441_224_59_54	Terrain	Vue de la st 59, vers le NE	G. Teysseire	9/29/2017	Numérique	CD.rom	158441_224_59_54.jpeg
158441_224_59_55	Terrain	Vue de la st 59, vers le NE	G. Teysseire	9/29/2017	Numérique	CD.rom	158441_224_59_55.jpeg
158441_224_55_56	Terrain	Vue de la st 55, vers l'ouest	G. Teysseire	9/29/2017	Numérique	CD.rom	158441_224_55_56.jpeg

### Inventaire des documents numériques

Identifiant	Ensemble	Légende	Format	Nature support	Conditionnement final	N° contenant final	Nom Fichier
158441_241_1	-	RFO en pdf	.pdf	CD-rom	Boîte à archive A4	1	158441_241_1_.pdf
158441_251_2	-	Notice BSR	.doc	CD-rom	Boîte à archive A4	1	158441_251_2_.doc
158441_233_3	-	Inventaire des ST et US	.xls	CD-rom	Boîte à archive A4	1	158441_233_3_.xls
158441_233_4	-	Inventaire du mobilier	.xls	CD-rom	Boîte à archive A4	1	158441_233_4_.xls
158441_233_5	-	Inventaire des prélèvements	.xls	CD-rom	Boîte à archive A4	1	158441_233_5_.xls
158441_233_6	-	Inventaire de la documentation graphique	.xls	CD-rom	Boîte à archive A4	1	158441_233_6_.xls
158441_233_7	-	Inventaire de la documentation photographique	.xls	CD-rom	Boîte à archive A4	1	158441_233_7_.xls
158441_233_8	-	Inventaire de la documentation numérique	.xls	CD-rom	Boîte à archive A4	1	158441_233_8_.xls
158441_233_9	-	Inventaire de la documentation écrite	.xls	CD-rom	Boîte à archive A4	1	158441_233_9_.xls

### Inventaire de la documentation écrite

Identifiant	Ensemble	Légende	Auteur	Nature support	Type de contenant	Numéro contenant
158441_241_0_1	Autre	RFO non relié	G. Teysseire	Papier	Boîte archive A4	1
158441_251_0_1	Autre	Notice BSR	G. Teysseire	Papier	Boîte archive A4	1







## Verlinghem

### Chronologie

Un projet d'extension de bureaux et de data center de la société Euroinformation à Verlinghem est à l'origine de la prescription de diagnostic émise par le Service Régional d'Archéologie des Hauts-de-France. Le diagnostic archéologique s'est déroulé du 25 au 29 septembre 2017 sur la surface non encore construite du projet, soit 39285 m<sup>2</sup> sur les 104235 m<sup>2</sup> prescrits. À l'issue de l'opération se sont 17 tranchées d'observation et 3 sondages profonds qui ont été effectués ouvrant ainsi 12,16 % de la surface accessible. Cette opération a permis de mettre au jour 282 vestiges archéologiques dont la très grande majorité est constituée de fossés. Du mobilier datant a été collecté de manière diffuse sur tout le site. La majorité des tessons est fragmentée mais sa répartition permet de définir plusieurs périodes d'occupation sur le site. Quelques tessons attribuables à la protohistoire ont été collectés. De même, du mobilier romain (essentiellement des I et II<sup>e</sup> siècles de notre ère) a été collecté dans des fossés et des fosses. Une fosse de rejet de bûcher, isolée, peut être associée à l'une ou l'autre de ces deux phases. Bien qu'elle soit non datée, la pratique de la crémation est rencontrée à ces époques.

### Sujets et thèmes

### Mobilier

L'occupation médiévale (XII<sup>e</sup> siècle) du site se traduit par la présence de fossés et de rares fosses ayant livré un peu de mobilier. Seuls des tronçons de fossés ont été mis au jour et il n'a pas été possible de définir des enclos ou de restituer un parcellaire. La concentration de vestiges attribués à cette phase se situe au sud-ouest du site, sans qu'il soit possible pour autant de définir un plan organisé des vestiges. Bien que peu fréquemment rencontrée dans la région, la céramique de cette période reste en quantité limitée, ici, à Verlinghem. Un large fossé (ou une dépression) daté de la période Moderne a été rencontré au centre de la parcelle, il traverse de part en part le site selon un axe NO/SE. D'autres fossés ont livré du mobilier moderne et notamment un liard du début du XVII<sup>e</sup> siècle. Le mobilier, très fragmenté est difficilement attribuable à une phase en particulier, le taux de résidualité doit être important car certains tessons sont émoussés. L'opération de diagnostic, route de Messines à Verlinghem, même si elle ne permet pas de caractériser une organisation bien définie, permet néanmoins d'entrevoir une occupation lâche du secteur étalée sur plusieurs périodes. Il conviendra donc de rester vigilant quant aux futurs aménagements dans ce secteur qui permettront peut-être d'affiner les connaissances des différentes phases d'occupation.

## Inrap

### Hauts-de-France,

32 avenue de l'Étoile du Sud

80440 Glisy

Tél. 03 22 33 50 30

nord-picardie@inrap.fr

[www.inrap.fr](http://www.inrap.fr)